

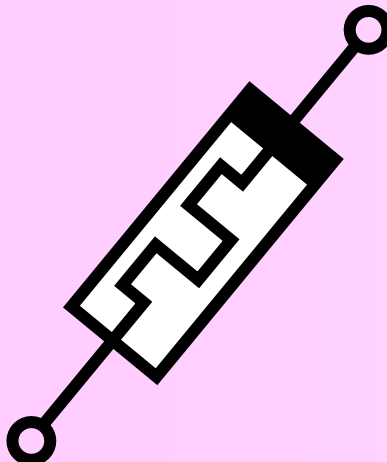


OSAKA UNIVERSITY



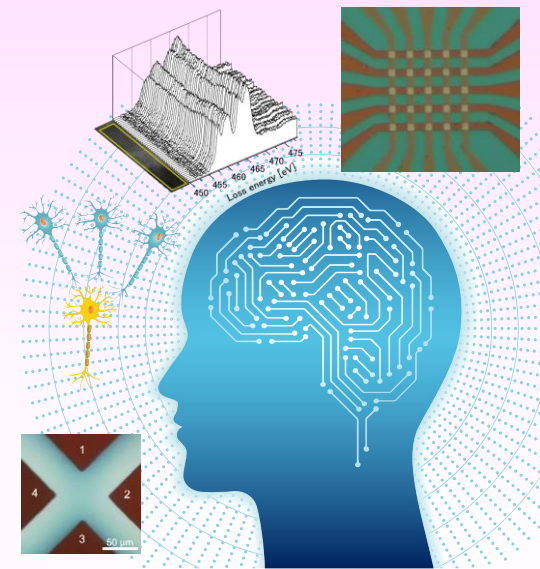
ENGINEERING SCIENCE

メモリスタ：半導体メモリデバイスの新展開



酒井 朗

大阪大学 大学院基礎工学研究科



大阪大学エマージングサイエンスデザインR³センター
ナノ社会人教育プログラム 特別講義
@大阪大学中之島センター10階 ホール3・4

サイバー空間と物理空間を統合するシステムによる人間社会

Society 5.0

Internet of Things (IoT)

connecting all people and things
sharing various knowledge and information
creating new values never seen before

Artificial Intelligence (AI)

analyzing huge amount of big data
providing necessary information when needed

Semiconductor devices are at the core of these systems

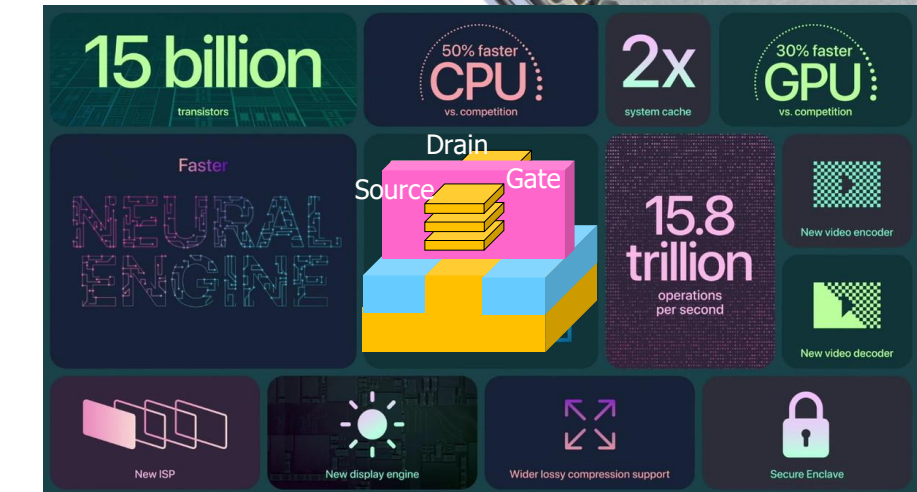
Robots and autonomous vehicles, etc.

overcoming social issues

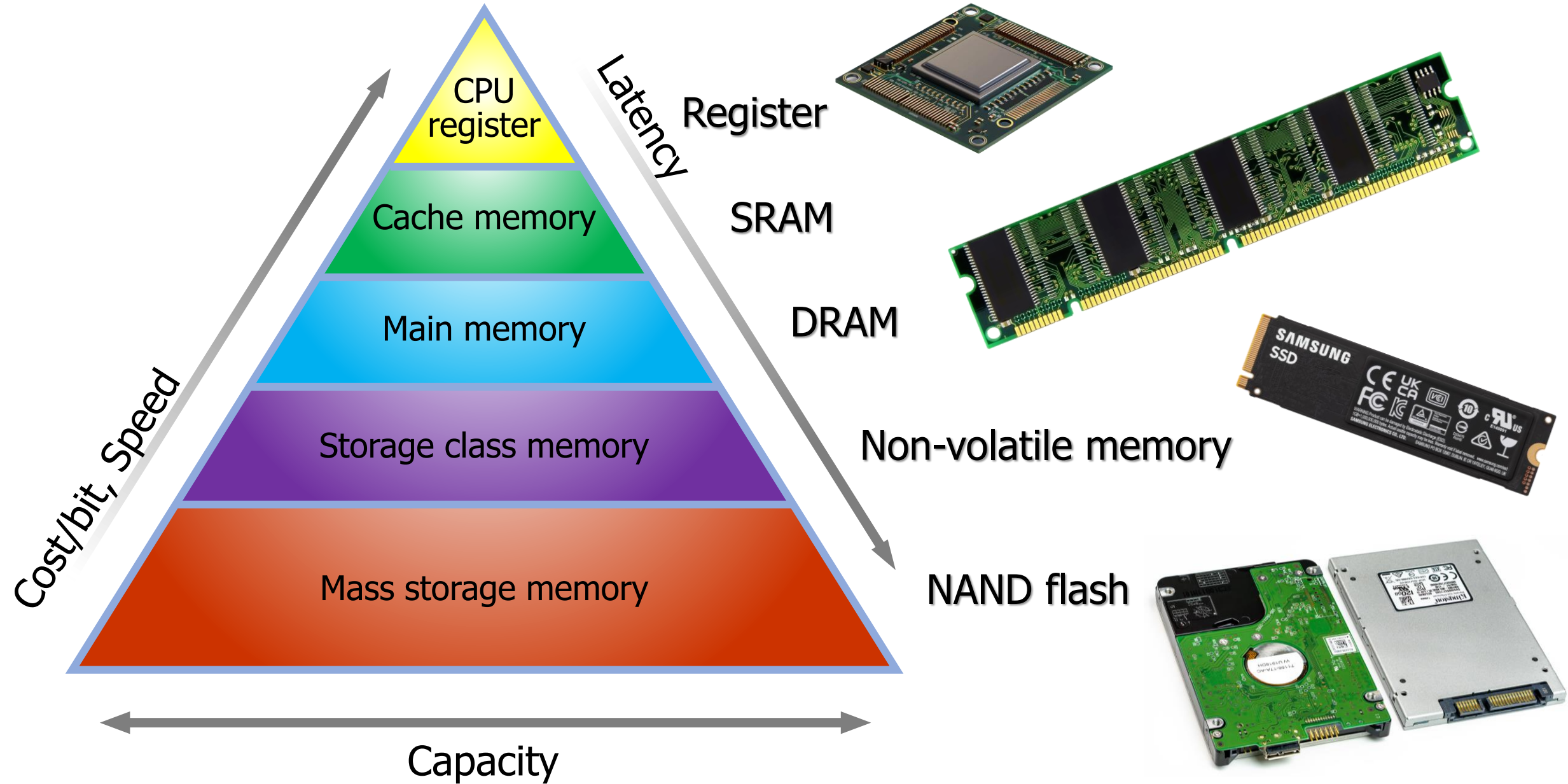


半導体デバイスはIoT, AI, Roboticsの要である

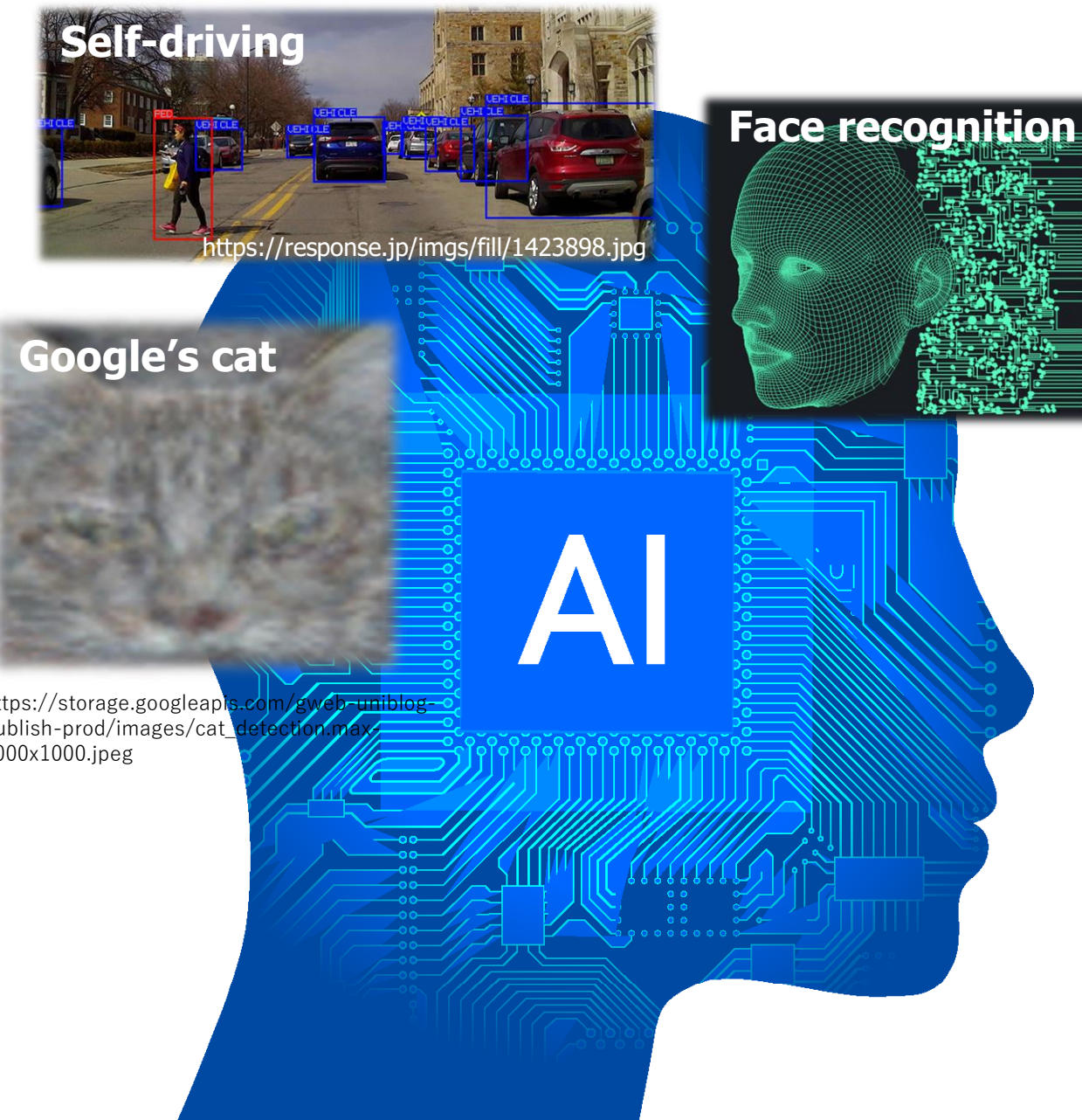
iPhone 13



半導体メモリ階層構造

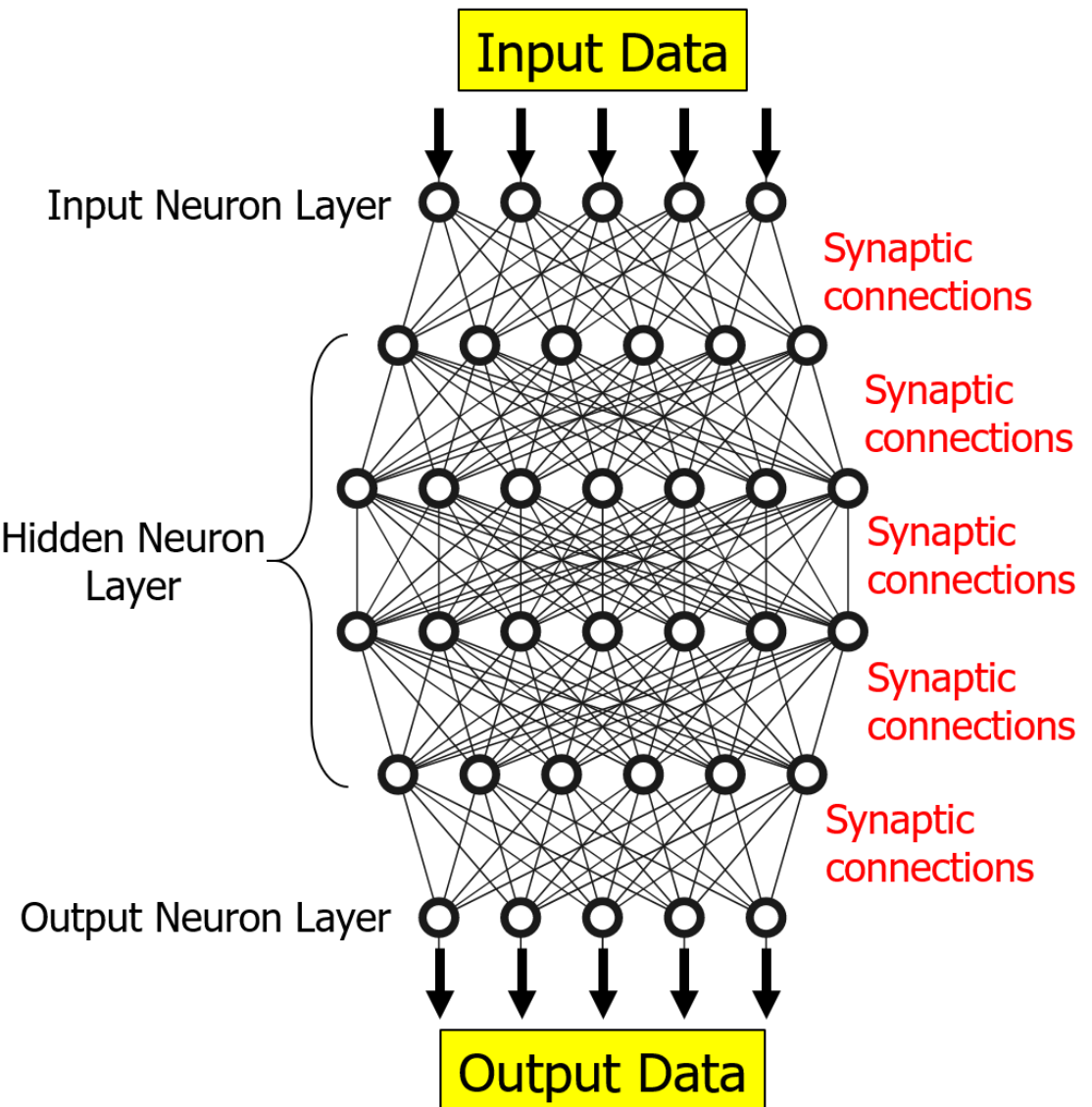


AIとしての人工ニューラルネットワーク (ANN)



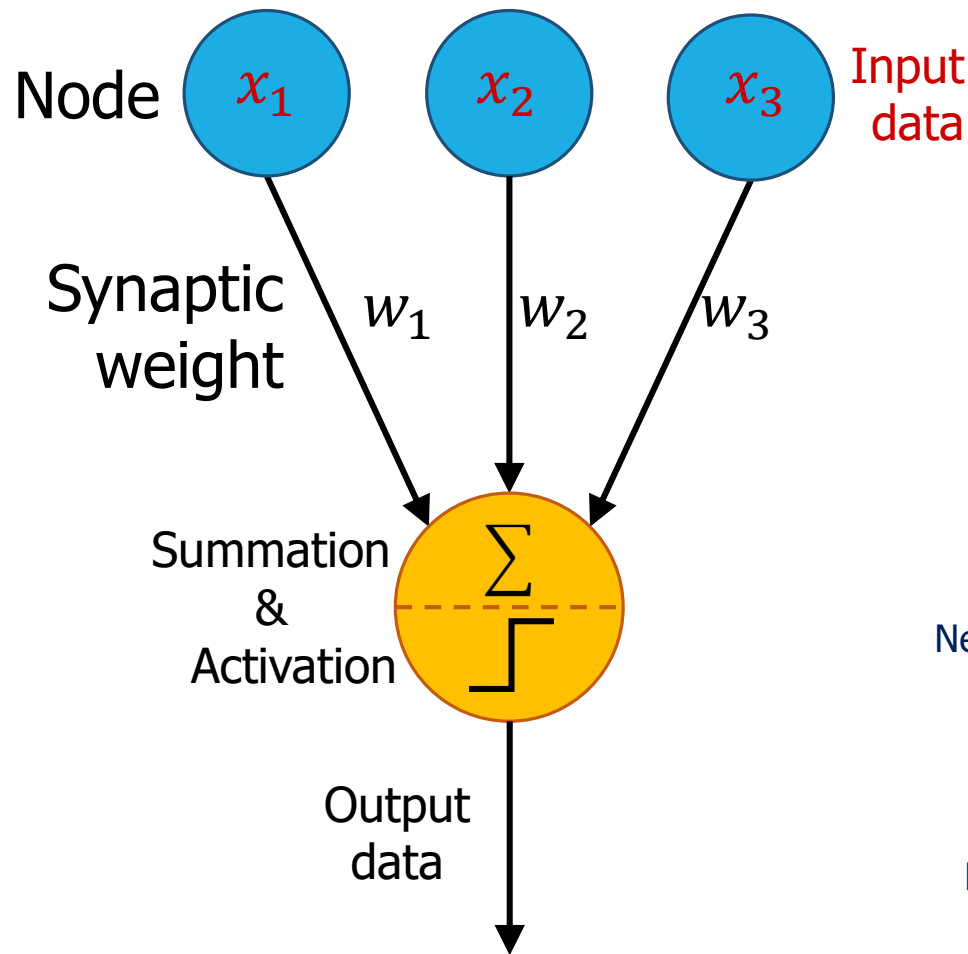
ANN: Artificial Neural Network

Deep Neural Network

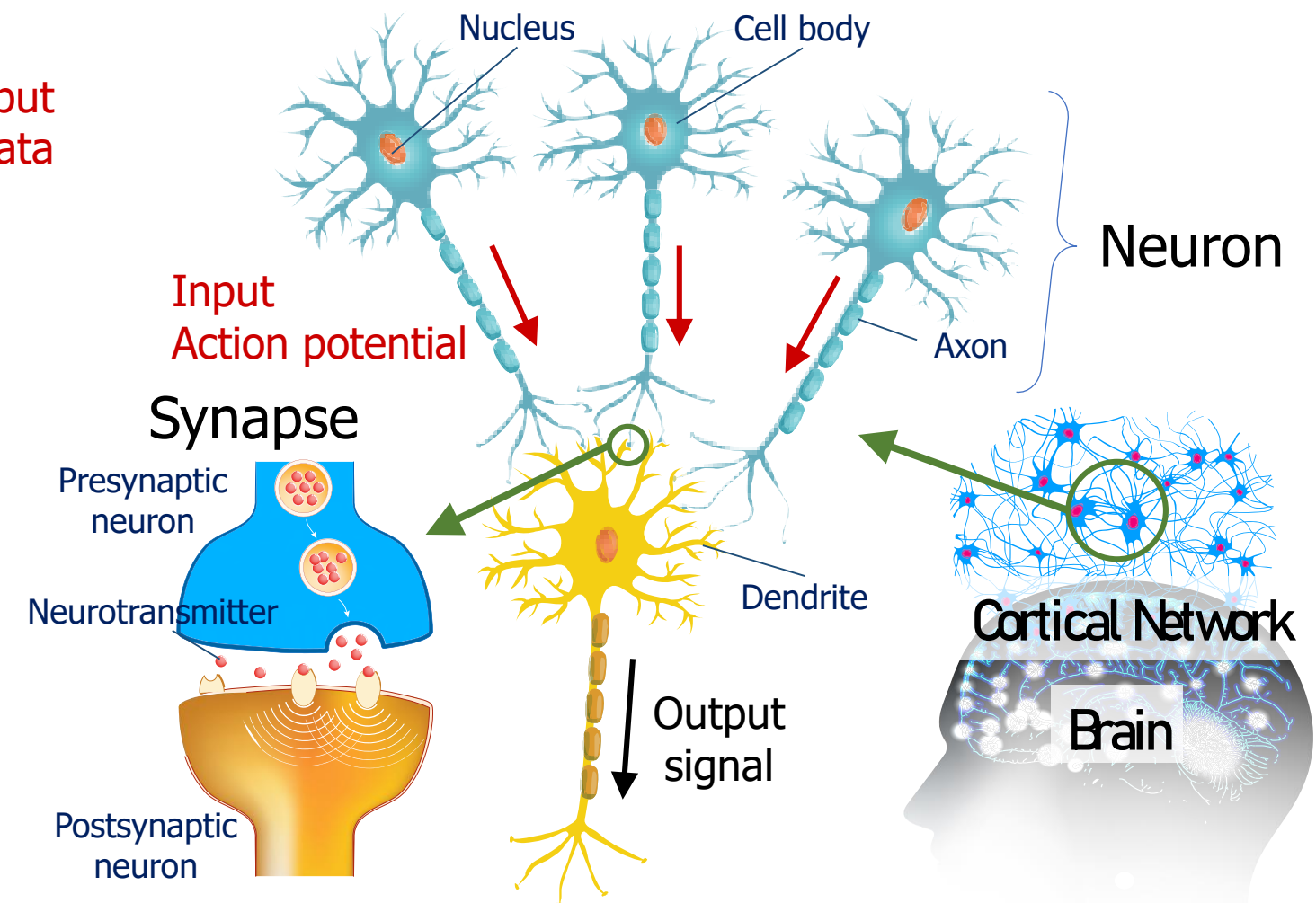


ANNは脳内皮質ネットワークを模倣している

Single layer perceptron

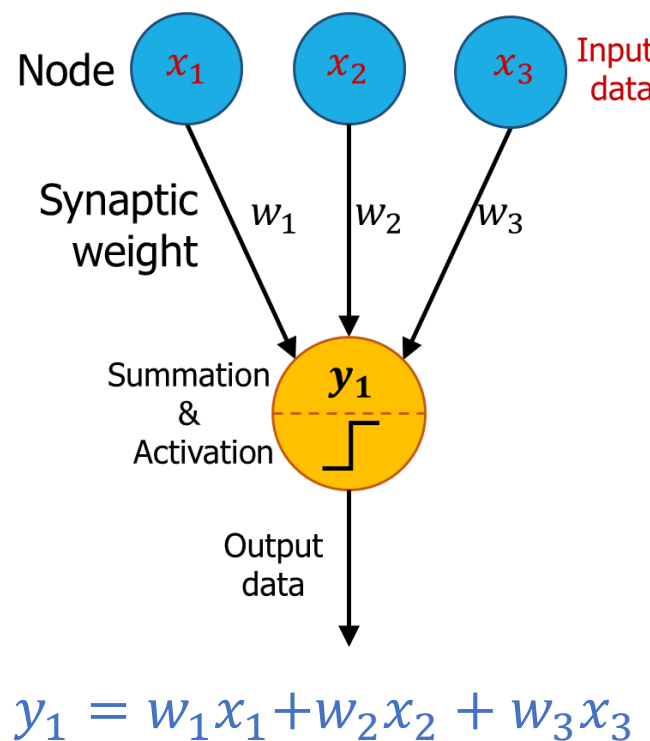


Biological neural network

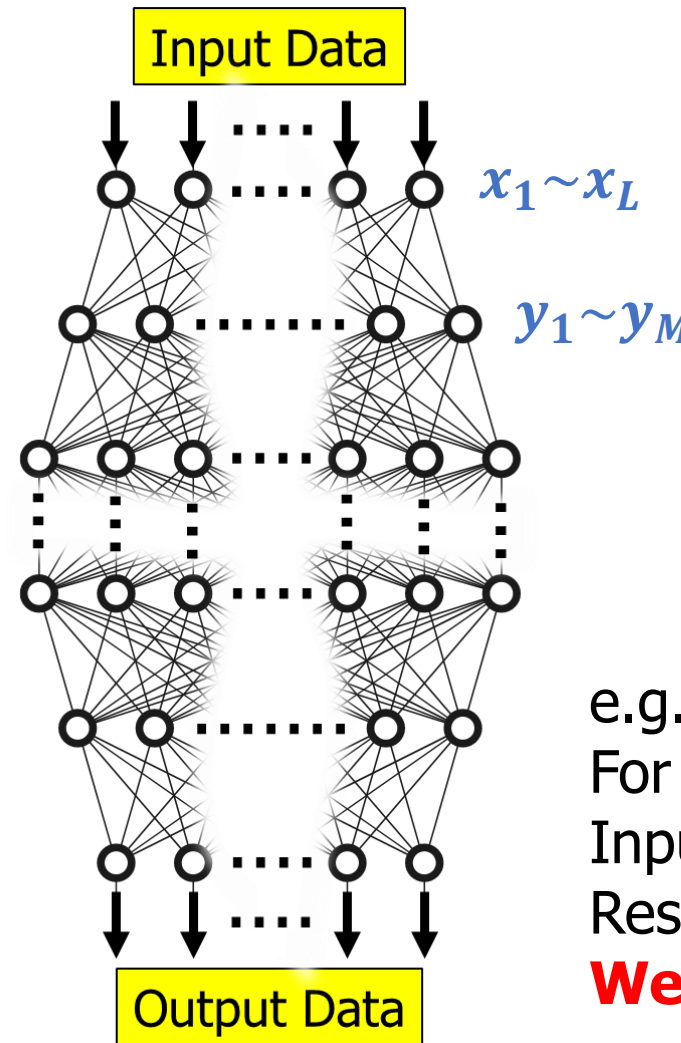


積和演算 (MAC : Multiply–Accumulate operation)

Single layer perceptron



Deep neural network



$$\begin{aligned} [x_1 \ x_2 \ \dots \ x_L] * \begin{bmatrix} w_1^1 & w_1^2 & \dots & w_1^M \\ w_2^1 & w_2^2 & \dots & w_2^M \\ \vdots & \vdots & \ddots & \vdots \\ w_L^1 & w_L^2 & \dots & w_L^M \end{bmatrix} \\ = \begin{bmatrix} y_1 = w_1^1x_1 + w_1^2x_2 + \dots + w_1^Lx_L \\ y_2 = w_2^1x_1 + w_2^2x_2 + \dots + w_2^Lx_L \\ \vdots \\ y_M = w_M^1x_1 + w_M^2x_2 + \dots + w_M^Lx_L \end{bmatrix} \end{aligned}$$

e.g.

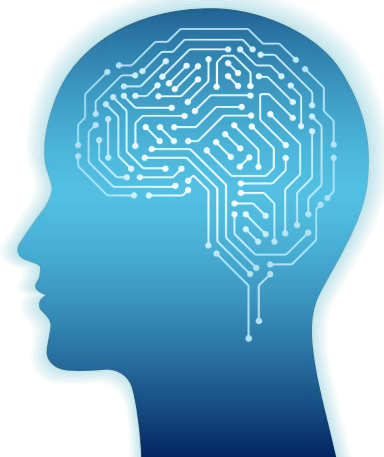
For 1,000 inputs and 1,000 nodes

Input data : a vector of 1000 elements

Results : a vector of 1000 elements

Weight : a matrix of 1,000,000 elements!

フォン・ノイマンアーキテクチャの深層ニューラルネットワーク



250,000 W
(1,202 CPU + 176 GPU) ← Power consumption → 20 W

**Multiply–Accumulate (MAC) operation is
mostly power and time consuming !**

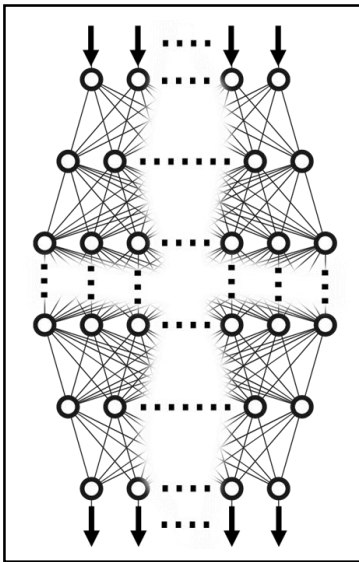
生成AI (Transformer) のモデルアーキテクチャ

深層ニューラルネットワーク
→ データに含まれる特徴の抽出と変換

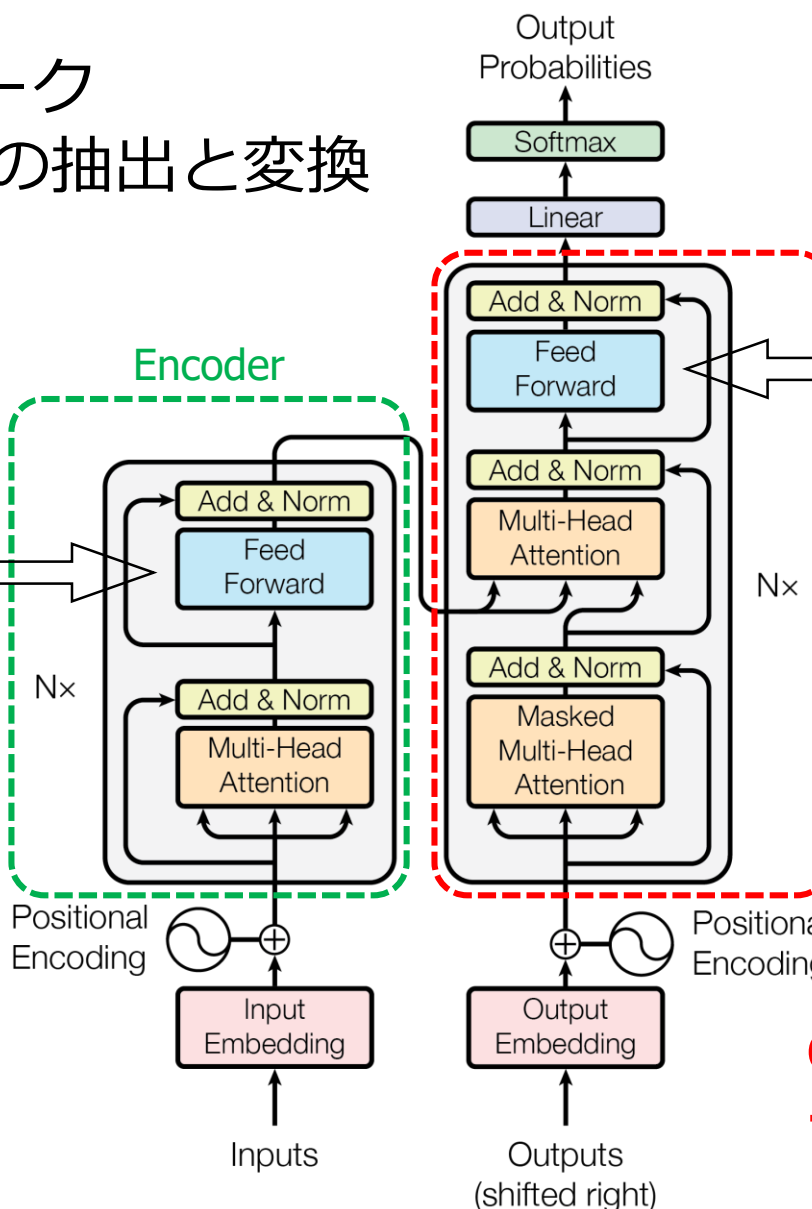
OpenAI



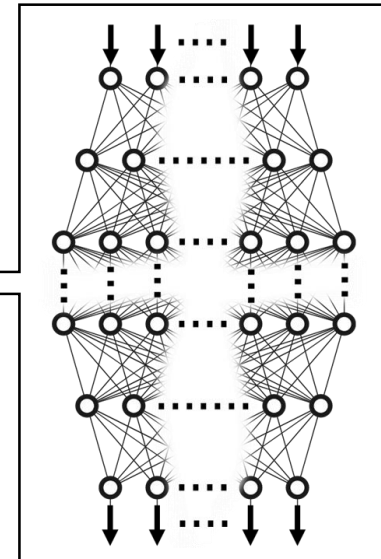
Deep Neural Network



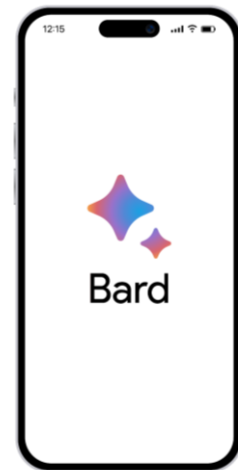
Encoder



Deep Neural Network



Decoder



Google AI

**ChatGPTは約2億プロンプト／日
→ 50万 kWh超の電力量
～平均的家庭1万7000世帯以上**

フォン・ノイマン型コンピュータ



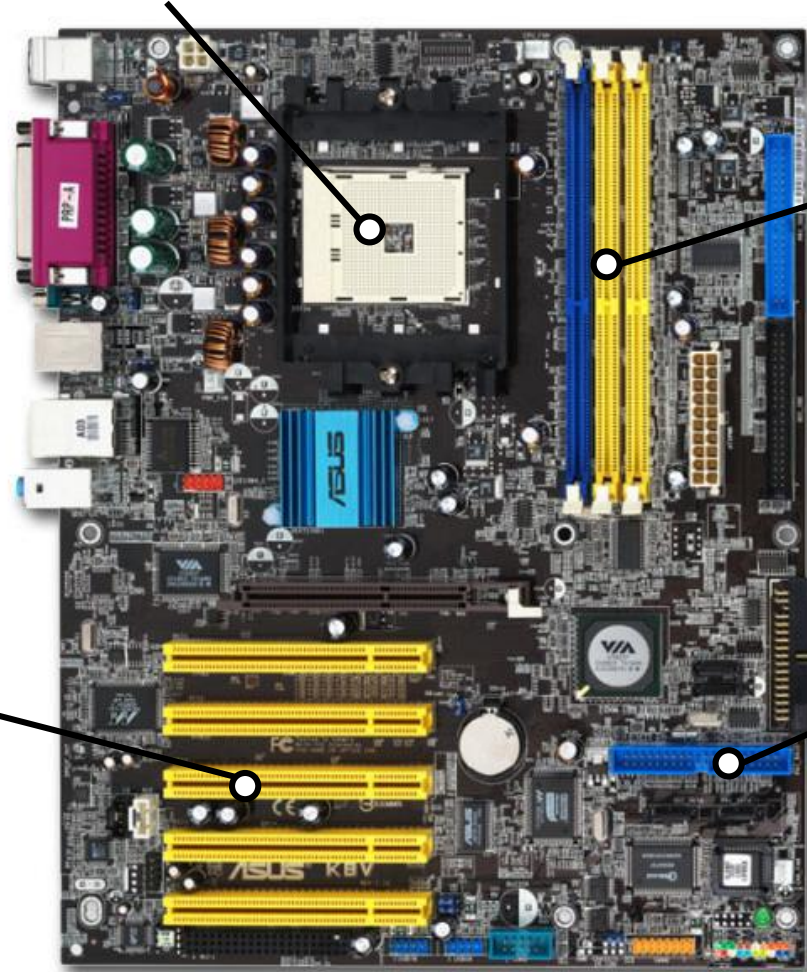
von Neumann

<http://www.lanl.gov/history/atomicbomb/images/NeumannL.GIF>

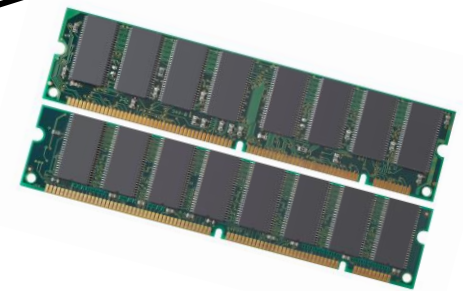
PCIバススロット
(ビデオカード入出力)



CPU
(中央演算素子)



メモリスロット
(メモリデータ入出力)



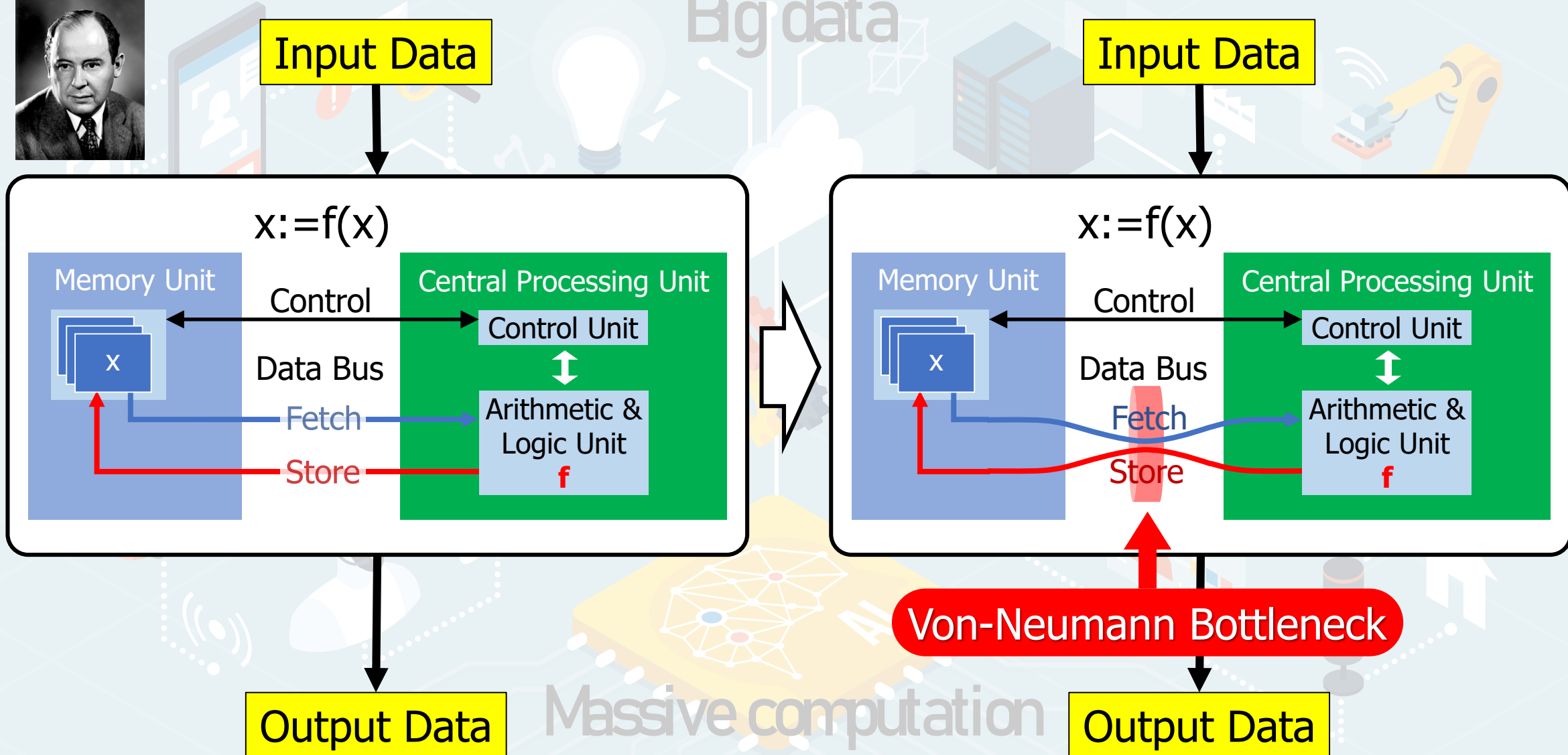
SATAスロット
(ストレージ入出力)



フォン・ノイマンアーキテクチャは重大な問題を抱えている

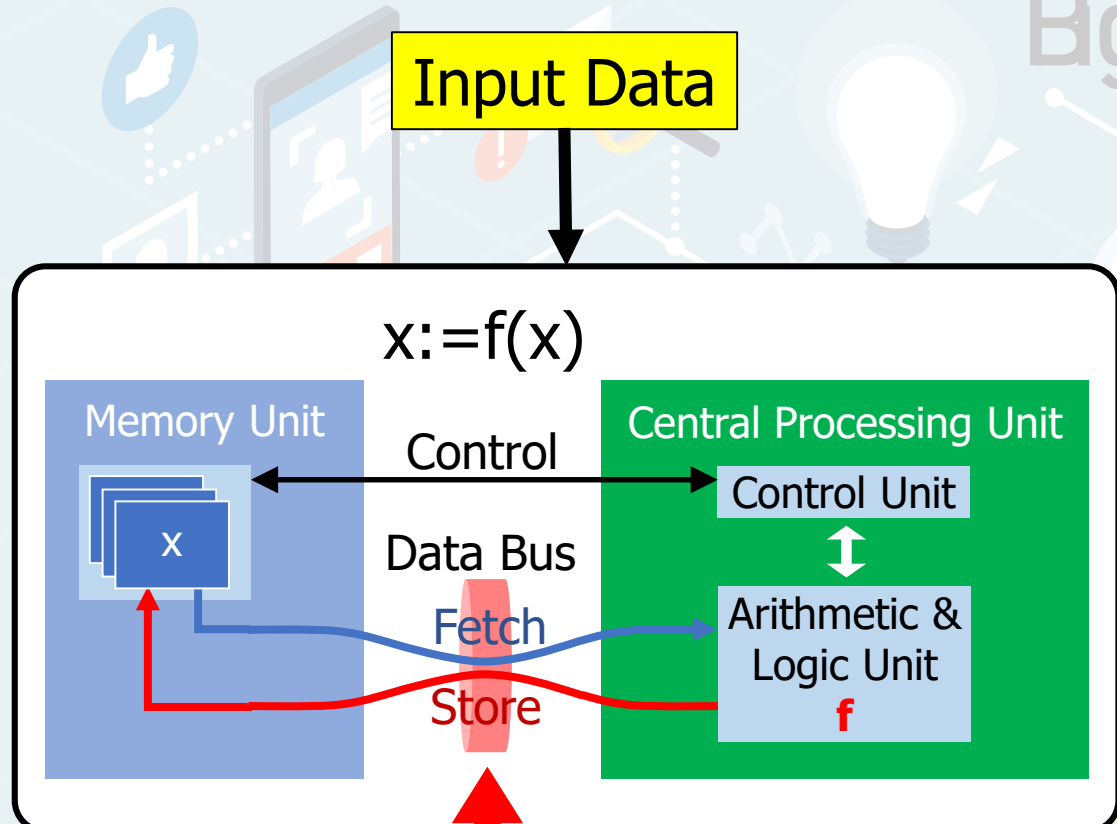
<http://www.lanl.gov/history/atomicbomb/images/NeumannL.GIF>

Von-Neumann computing



フォン・ノイマン型からイン・メモリコンピューティングへ

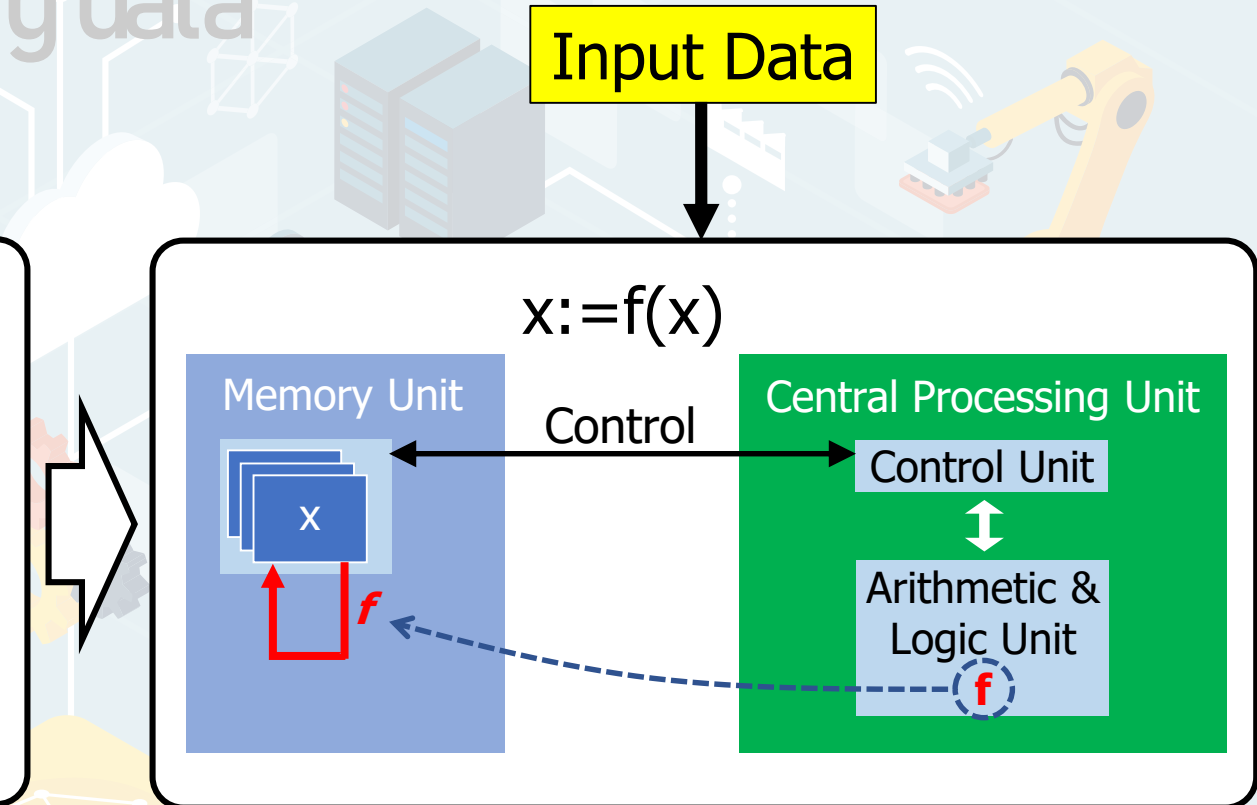
Von-Neumann computing



Von-Neumann Bottleneck

Output Data

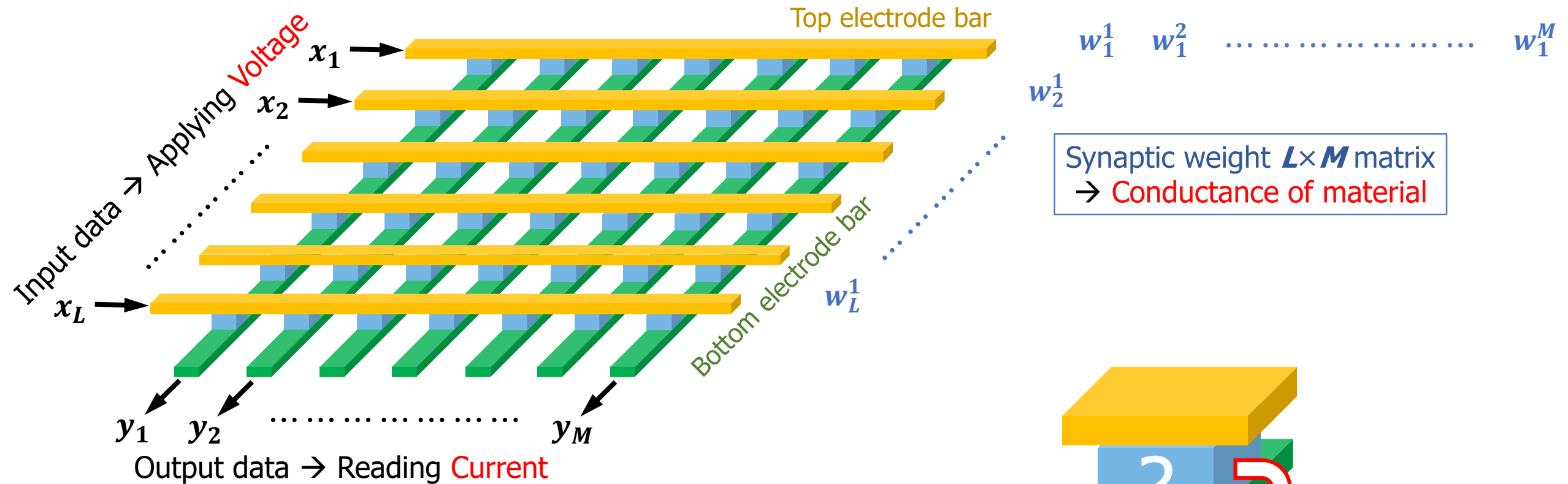
In-Memory computing



Output Data

Massive computation

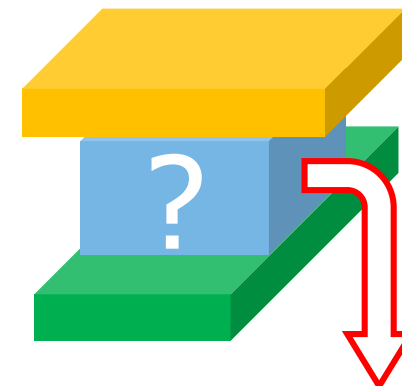
クロスバーーアーキテクチャは積和演算問題を解決する



$$[x_1 \ x_2 \ \dots \ x_L] * \begin{bmatrix} w_1^1 & w_1^2 & \dots & w_1^M \\ w_2^1 & w_2^2 & \dots & w_2^M \\ \vdots & \vdots & \ddots & \vdots \\ w_L^1 & w_L^2 & \dots & w_L^M \end{bmatrix} = \begin{bmatrix} y_1 = w_1^1 x_1 + w_2^1 x_2 + \dots + w_L^1 x_L \\ y_2 = w_1^2 x_1 + w_2^2 x_2 + \dots + w_L^2 x_L \\ \vdots \\ y_M = w_1^M x_1 + w_2^M x_2 + \dots + w_L^M x_L \end{bmatrix}$$

Voltage × Conductance = Current

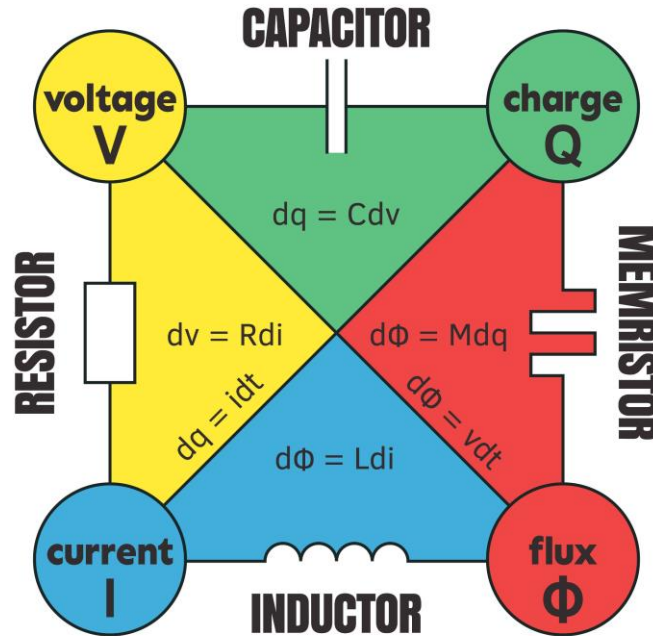
MAC can be perform in a hardware with cross-bars and cross-points !



The material that can vary the conductance (resistance) as an artificial synapse is needed !

メモリスタ：第4の受動素子

CONCEPTUAL SYMMETRY



Four fundamental circuit variables

i : electric current

v : voltage

q : charge

ϕ : magnetic flux

Fundamental passive circuit elements

R : resistance (dv/di) → **Resistor**
 C : capacitance (dq/dv) → **Capacitor**
 L : inductance ($d\phi/di$) → **Inductor**

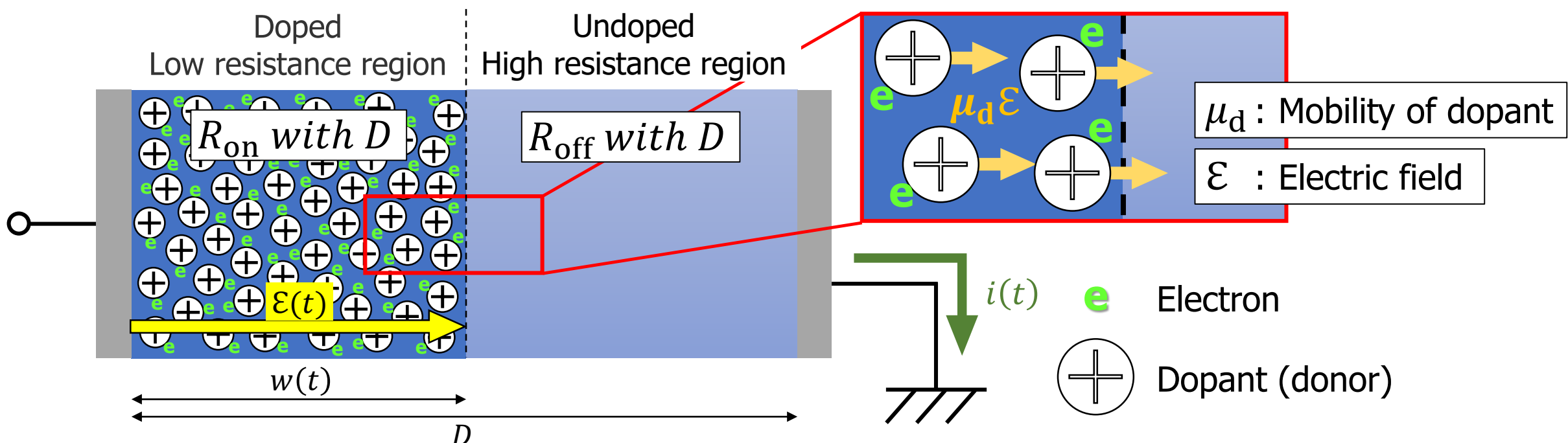
$$d\phi = M dq \Leftrightarrow \frac{d\phi}{dt} = M \frac{dq}{dt} \Leftrightarrow v = Mi$$

if $M = \text{const}$, $M = R$, being simple resistance

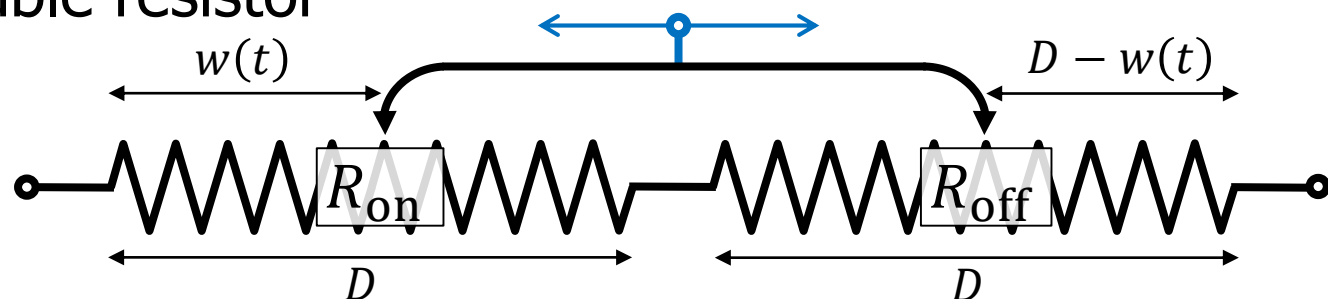
but if $M = M(q)$, a nonlinear element, no combination of R, C, L can duplicate M

メモリスタ：デバイス物理モデル

D. Strukov et al., Nature 453, 80 (2008).
"The missing memristor found"

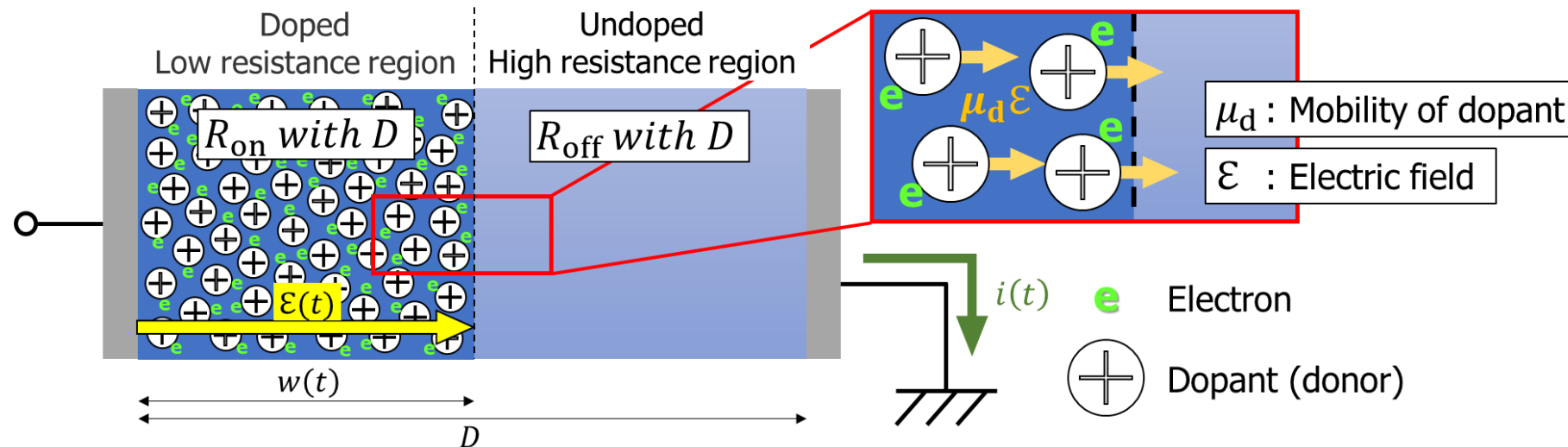


Similar to a variable resistor



$$\text{Time-dependent total resistance : } R(t) = R_{on} \frac{w(t)}{D} + R_{off} \left\{ 1 - \frac{w(t)}{D} \right\}$$

メモリスタの『状態 (State)』



$$R(t) = R_{\text{on}} \frac{w(t)}{D} + R_{\text{off}} \left\{ 1 - \frac{w(t)}{D} \right\}$$

Velocity of the boundary

$$\frac{dw(t)}{dt} = \mu_d \mathcal{E}(t) = \mu_d \left\{ \frac{R_{\text{on}} \frac{w(t)}{D} \cdot i(t)}{w(t)} \right\} = \frac{\mu_d R_{\text{on}}}{D} \cdot i(t)$$

Voltage applied to the doped region

When $x(t) \equiv \frac{w(t)}{D}$ (non-dimensional)
 $x(t)$ can represent a "state" of memristor at time t

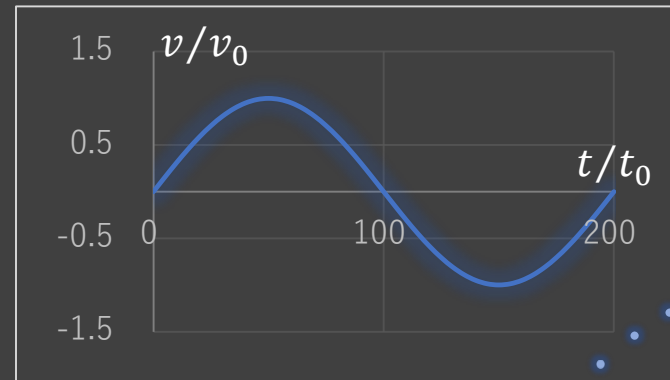
$$\frac{dx(t)}{dt} = \frac{1}{D} \frac{dw(t)}{dt} = \frac{\mu_d R_{\text{on}}}{D^2} \cdot i(t)$$

$$x(t) = \frac{\mu_d R_{\text{on}}}{D^2} \int i(t) dt = \frac{\mu_d R_{\text{on}}}{D^2} \cdot q(t)$$

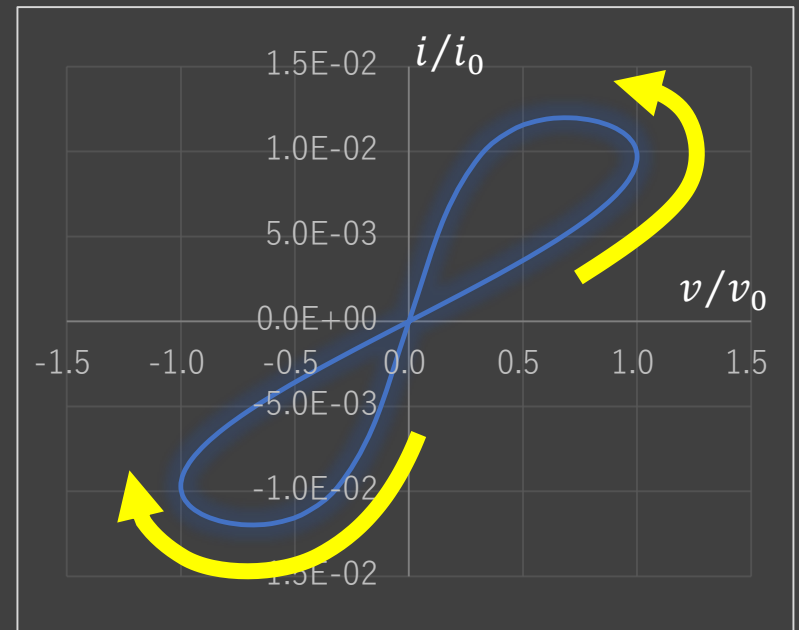
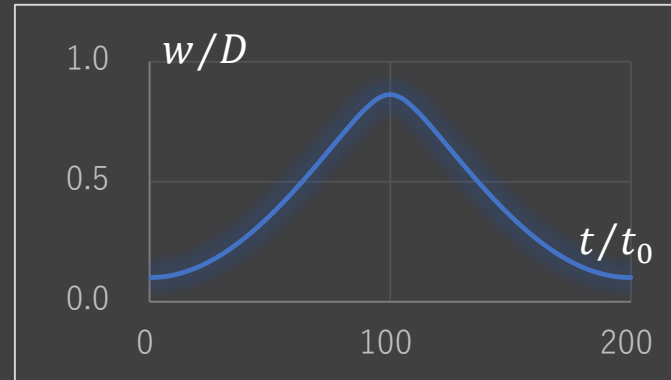
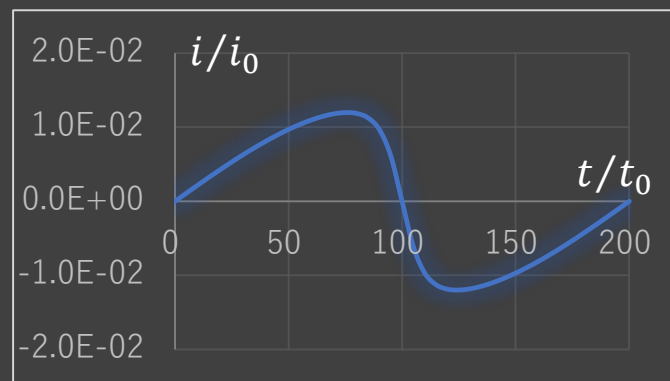
The "state" is proportional to charge q at t

メモリスタ特性の数値シミュレーション

Input : $v(t) = v_0 \sin \omega t$



Output: $i(t) = \frac{v_0 \sin \omega t}{R_{\text{on}} \sqrt{\left(\frac{R_{\text{off}}}{R_{\text{on}}}\right)^2 + 2 \left(\frac{R_{\text{off}}}{R_{\text{on}}} - 1\right) \left(\frac{\mu_d}{D^2} \frac{v_0 \cos \omega t}{\omega} + \text{const}\right)}}$

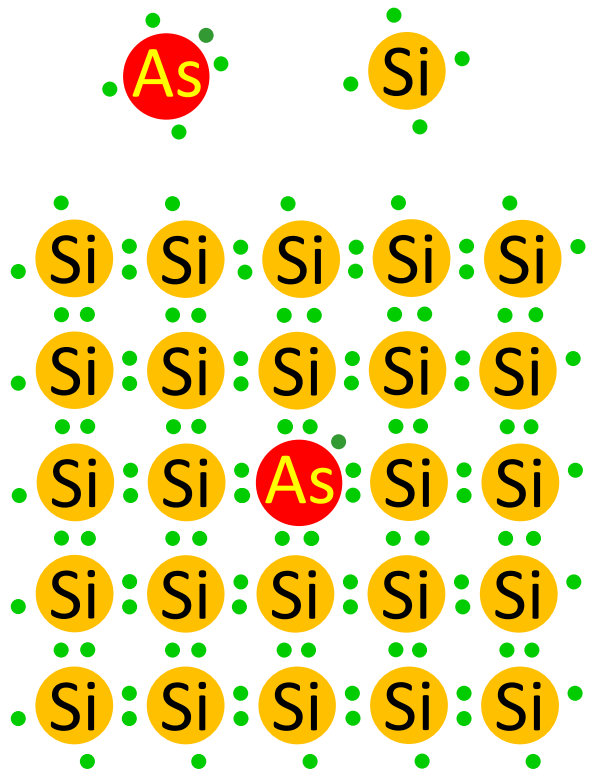


t [s]	$R_{\text{off}}/R_{\text{on}}$	v_0 [V]	i_0 [A]	D [m]	μ_v [m^2/Vs]	t_0 [s]	ω	w_0/D
2.0000	160	1.00	0.010	1.0E-08	1.00E-14	0.010	3.1416	0.10

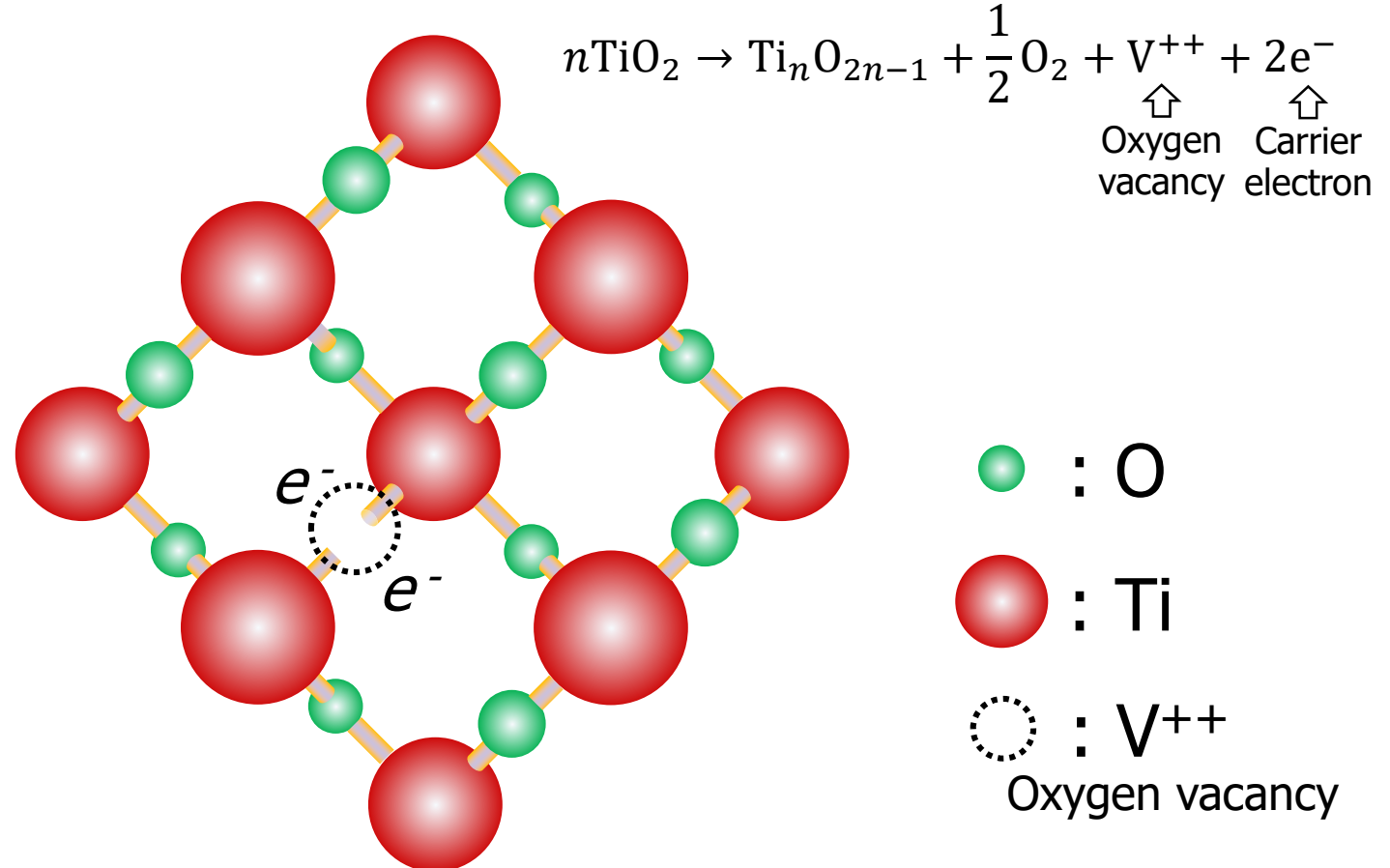
$$t_0 = D^2 / v_0 \mu_v$$

還元性金属酸化物はメモリスタ材料となる

n-type Si



Reduced metal-oxide, e.g., TiO_{2-x}

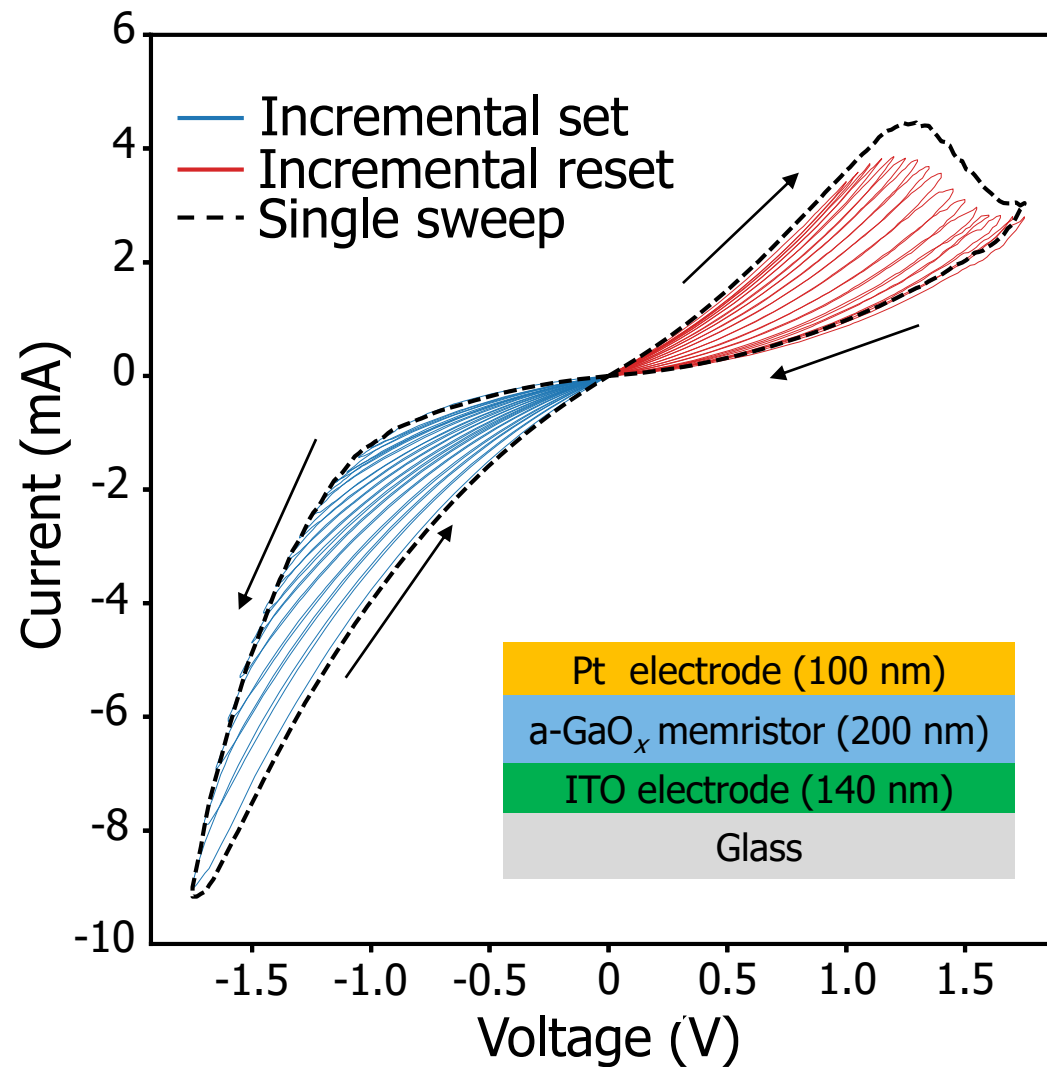


As atom, a donor, **never** drift
when applying voltage bias

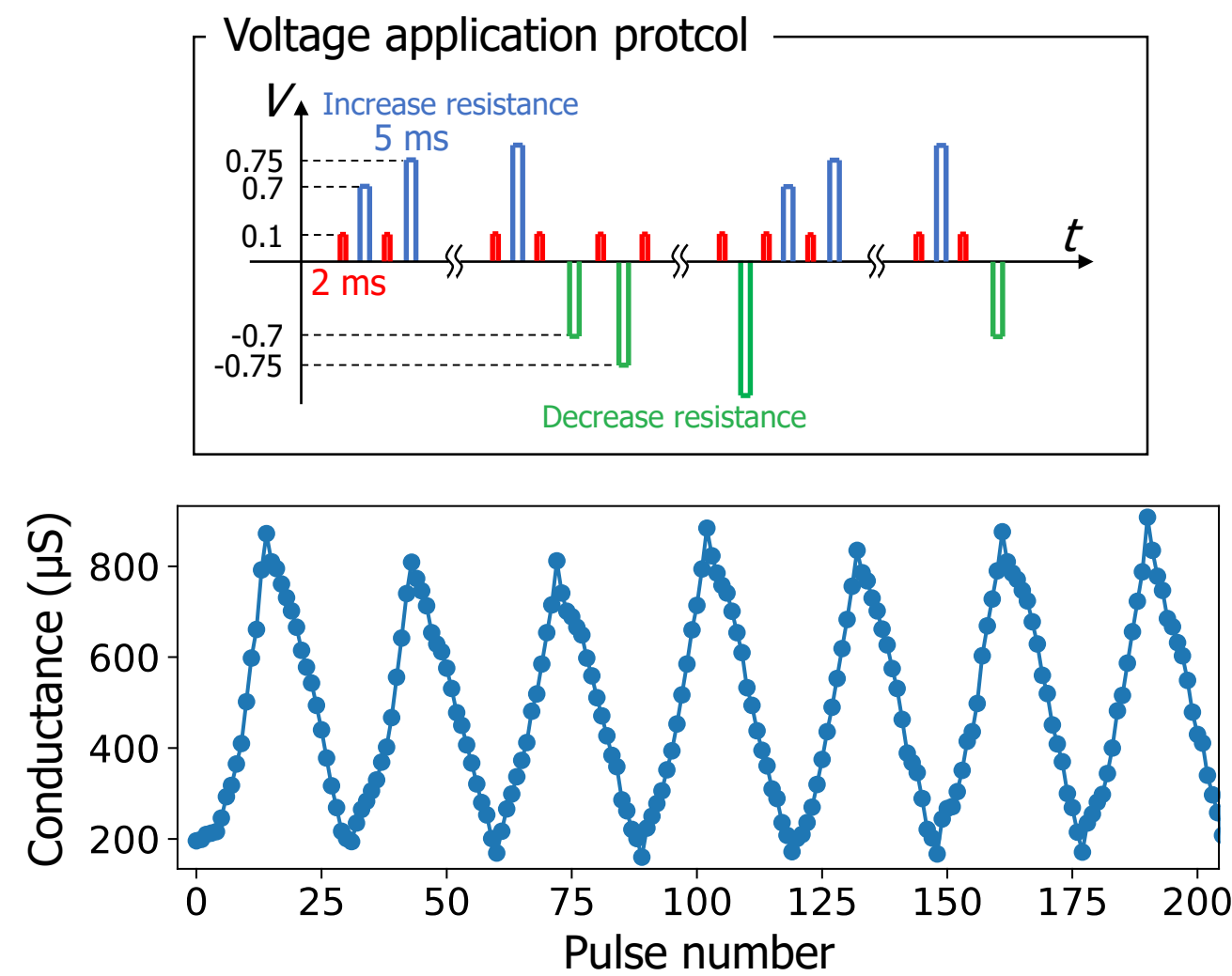
Oxygen vacancy, a donor, **can** drift
when applying voltage bias

アモルファスGaO_xメモリスタ

Current-Voltage characteristic

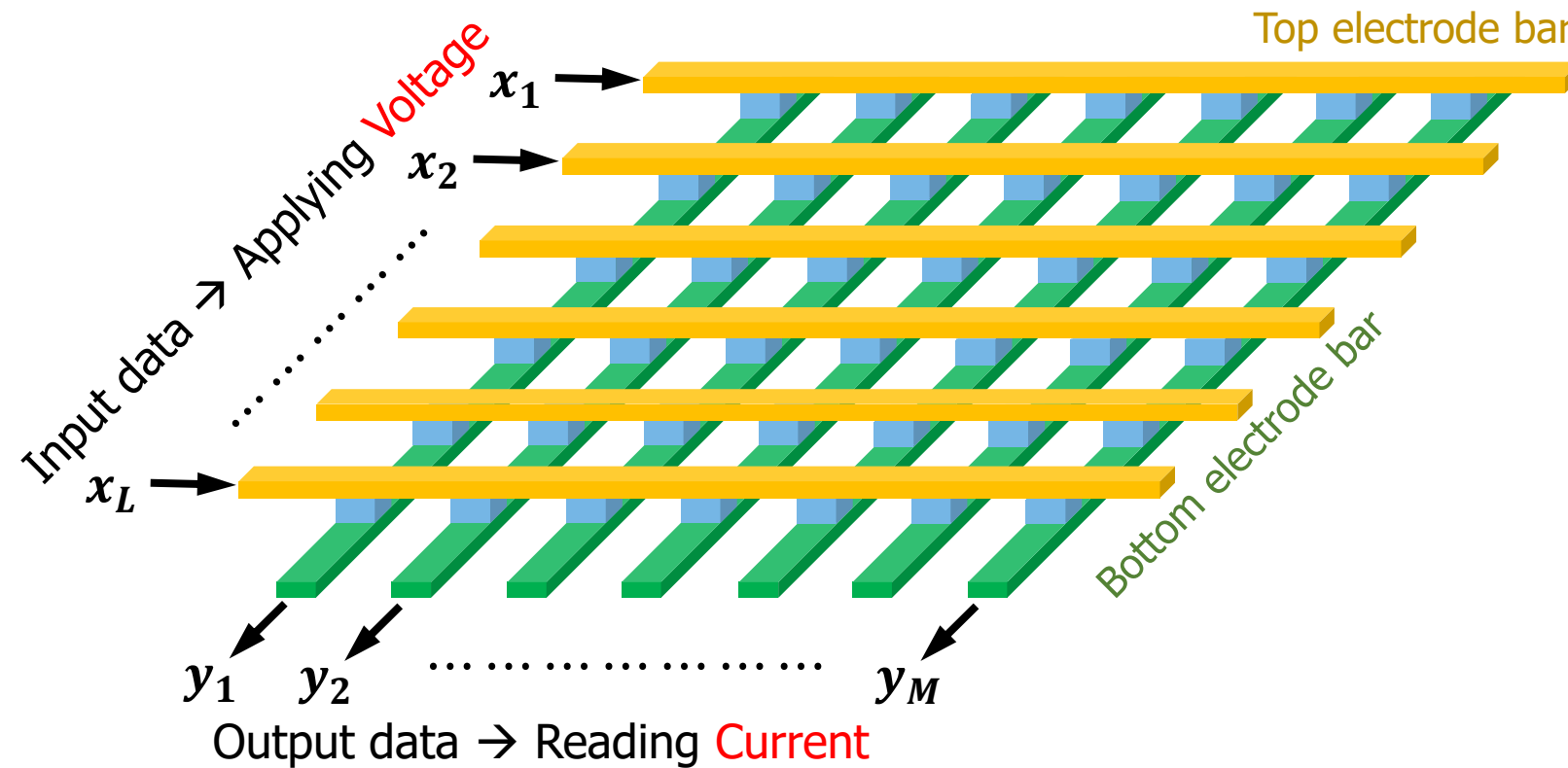


Conductance variation by voltage pulses



Multilevel conductance can be effectively used for synaptic weight change

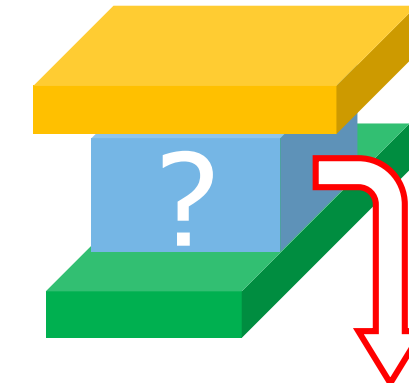
クロスバーーアーキテクチャは積和演算問題を解決する



$$[x_1 \ x_2 \ \dots \ x_L] * \begin{bmatrix} w_1^1 & w_1^2 & \dots & w_1^M \\ w_2^1 & w_2^2 & \dots & w_2^M \\ \vdots & \vdots & \ddots & \vdots \\ w_L^1 & w_L^2 & \dots & w_L^M \end{bmatrix} = \begin{bmatrix} y_1 = w_1^1 x_1 + w_2^1 x_2 + \dots + w_L^1 x_L \\ y_2 = w_1^2 x_1 + w_2^2 x_2 + \dots + w_L^2 x_L \\ \vdots \\ y_M = w_1^M x_1 + w_2^M x_2 + \dots + w_L^M x_L \end{bmatrix}$$

Voltage × Conductance = Current

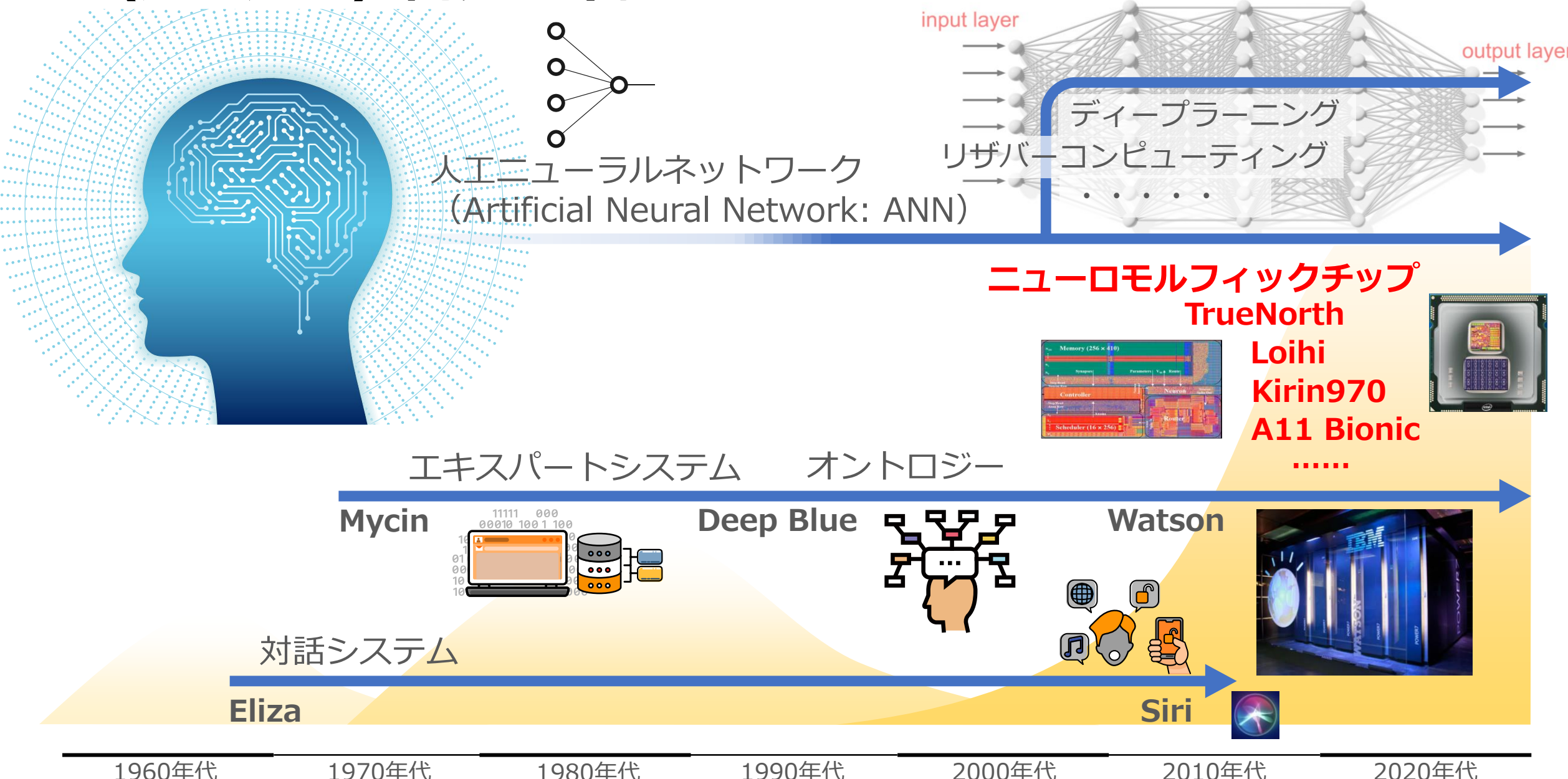
MAC can be perform in a hardware with cross-bars and cross-points !



The material that can vary the conductance (resistance) as an artificial synapse is needed !

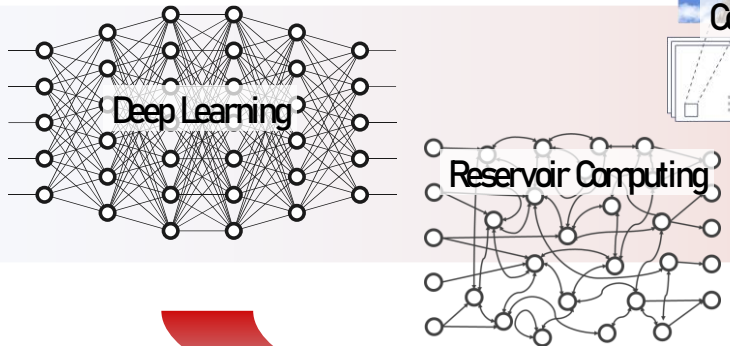
↓
Memristor !

AI（人工知能）開発の系譜



ANNと神経科学

Information Science



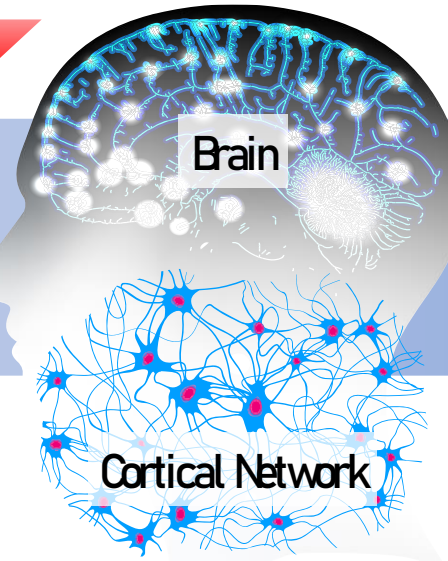
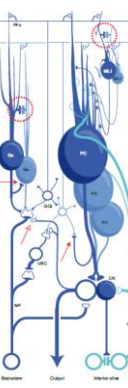
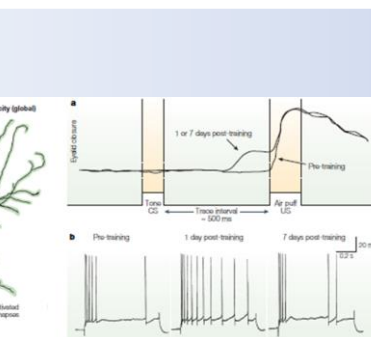
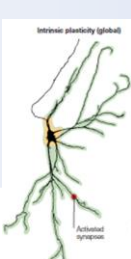
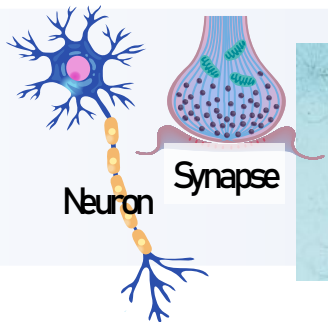
Convolutional Neural Network

人工シナプス素子ハードウェアの
観点からANNをリブートする

Hyper
AI

AI Electronics

情報科学と神経科学の発展的な橋渡し



Neuroscience

脳の理解
疾患治療

人工シナプス素子

シナプス可塑性の模倣

+

変調性

連合性

相関性

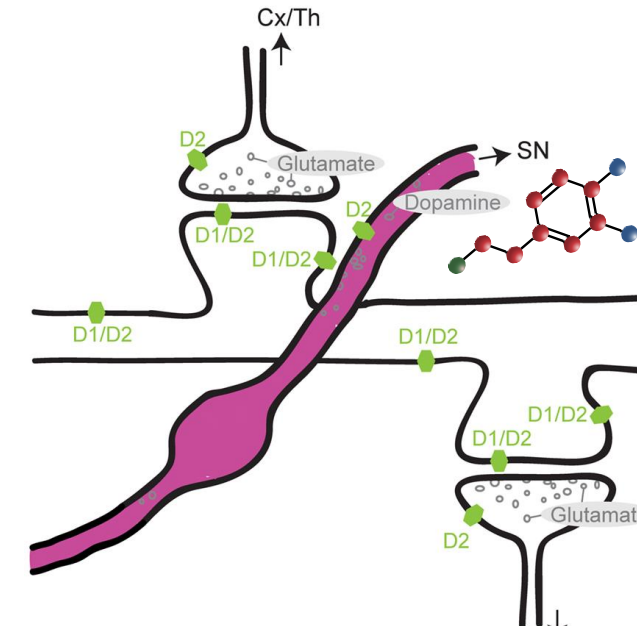
⋮

⋮



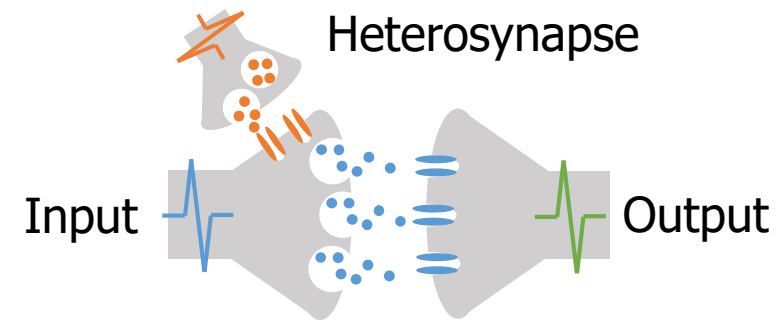
多端子メモリスタ素子
の創製

ニューロモデュレータによるシナプス可塑性変調

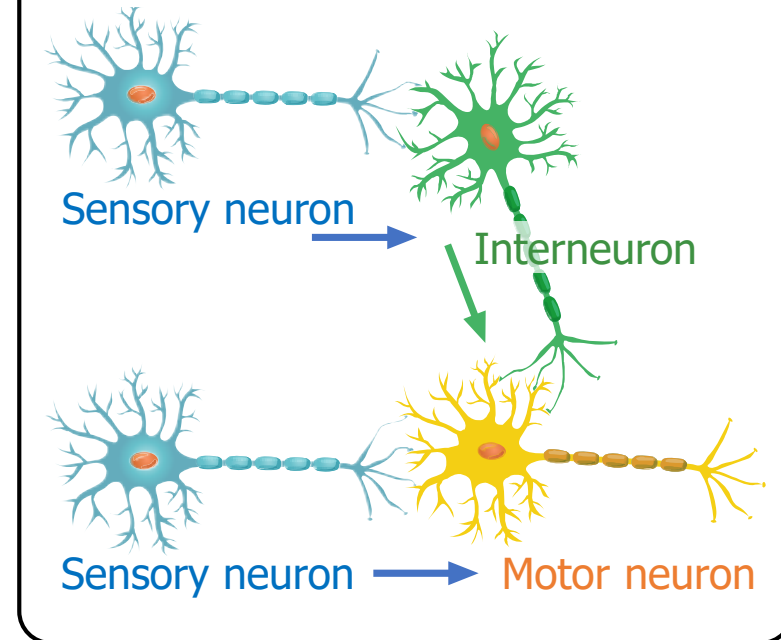


Timing is not everything:
neuromodulation opens the STDP gate
V. Pawlak et al.
Front. Syn. Neurosci. 2, 146 (2010).

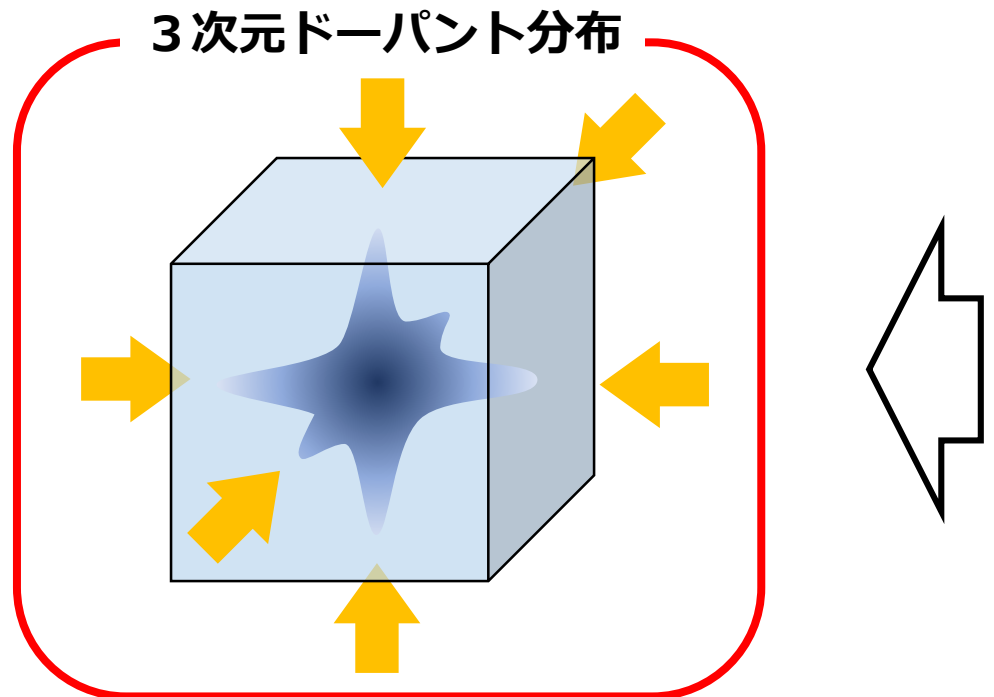
ヘテロシナプスにおける
シナプス可塑性変調



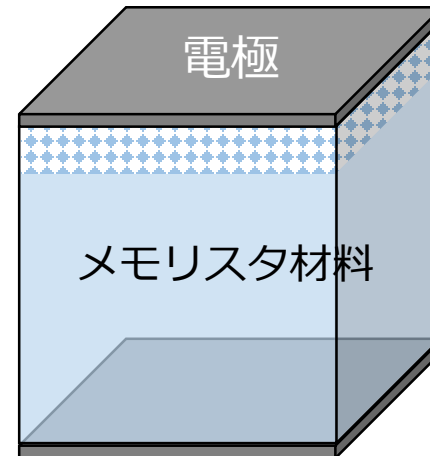
介在ニューロンによる
シナプス可塑性変調



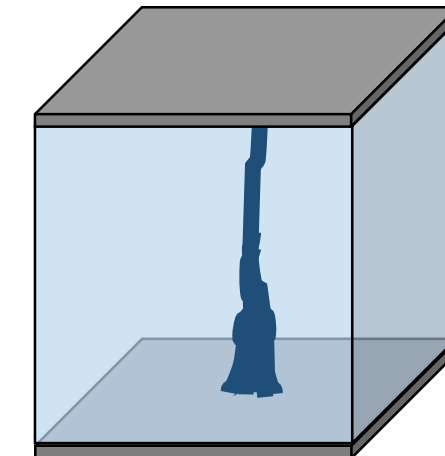
酸素空孔分布制御型多端子メモリスタ素子の機能原理



界面ショットキー障壁



導電性フィラメント・ブリッジ



ドーパント分布のトポロジーを電界で制御し
バルク的電気伝導に方位依存性を持たせて
種々の抵抗変化特性を発現させる

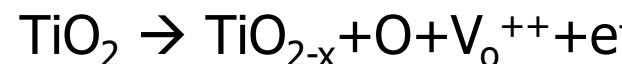
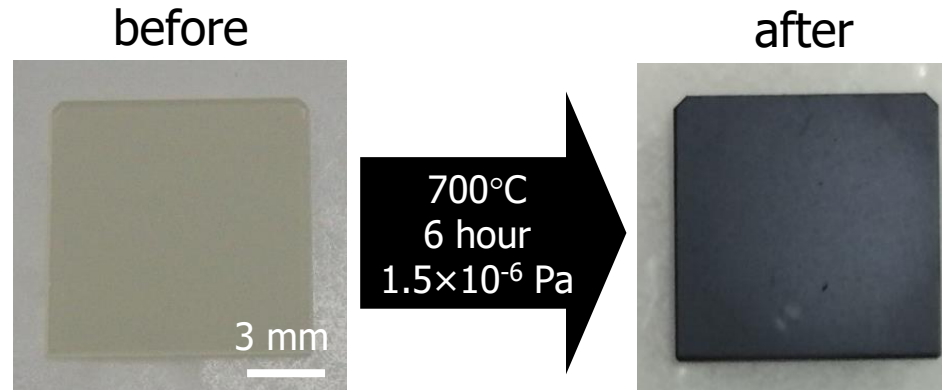
ドーパント = 酸素空孔

- 単結晶 TiO_{2-x}
還元バルク基板
エピタキシャル薄膜
- アモルファス GaO_x 薄膜

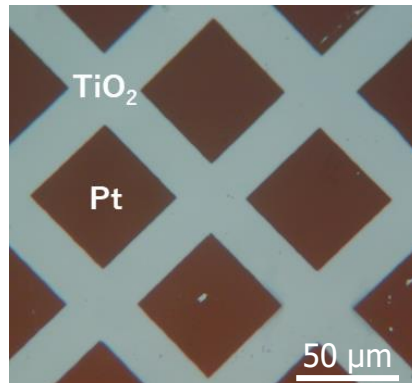
還元TiO₂ (TiO_{2-x}) 結晶・薄膜

■ ルチル型TiO₂単結晶の熱還元

真空熱処理



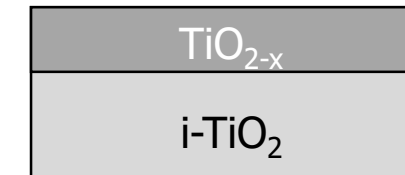
■ 4端子平面型素子



Optical microscope image

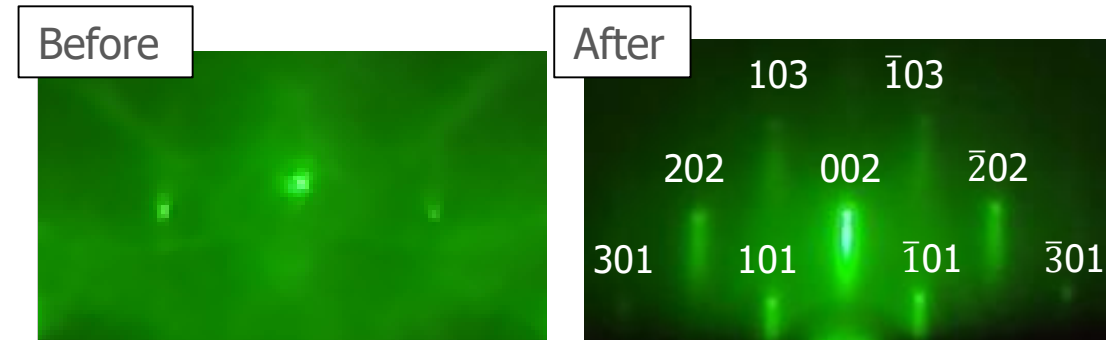
■ ルチル型還元TiO₂エピタキシャル薄膜成長

Pulsed Laser Deposition



Thickness: 50~100 nm

Resistivity: ~10⁻³ Ωcm



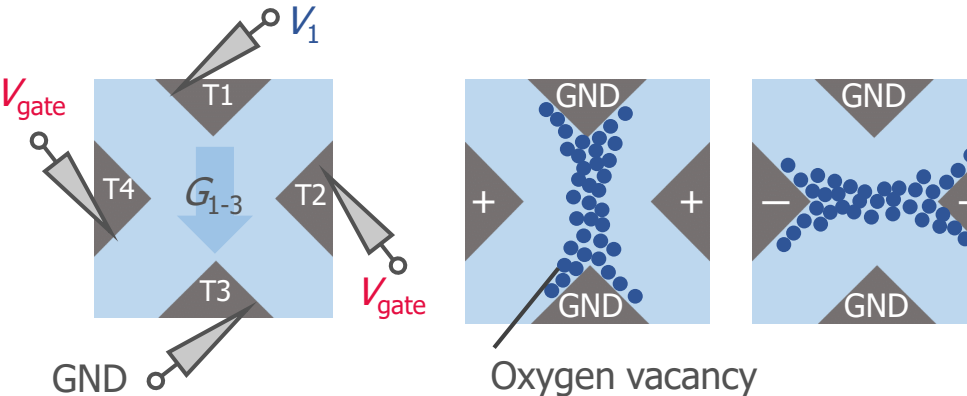
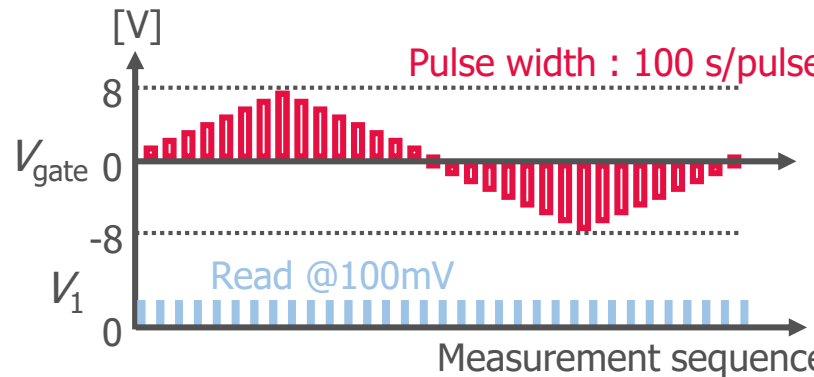
■ 数十 μmスケール素子

■ 電気着色現象による酸素空孔分布の可視化

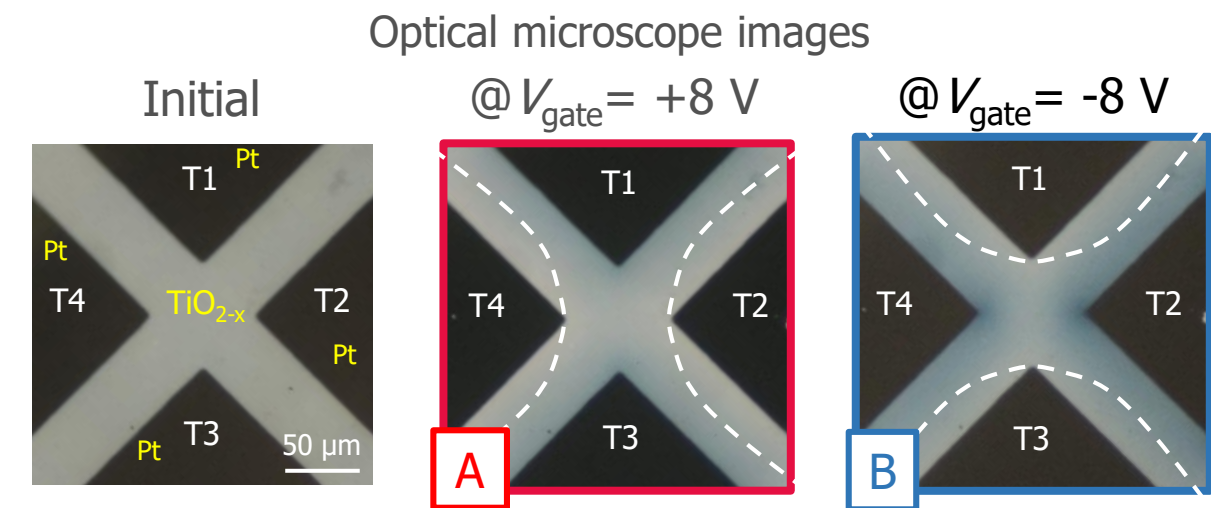
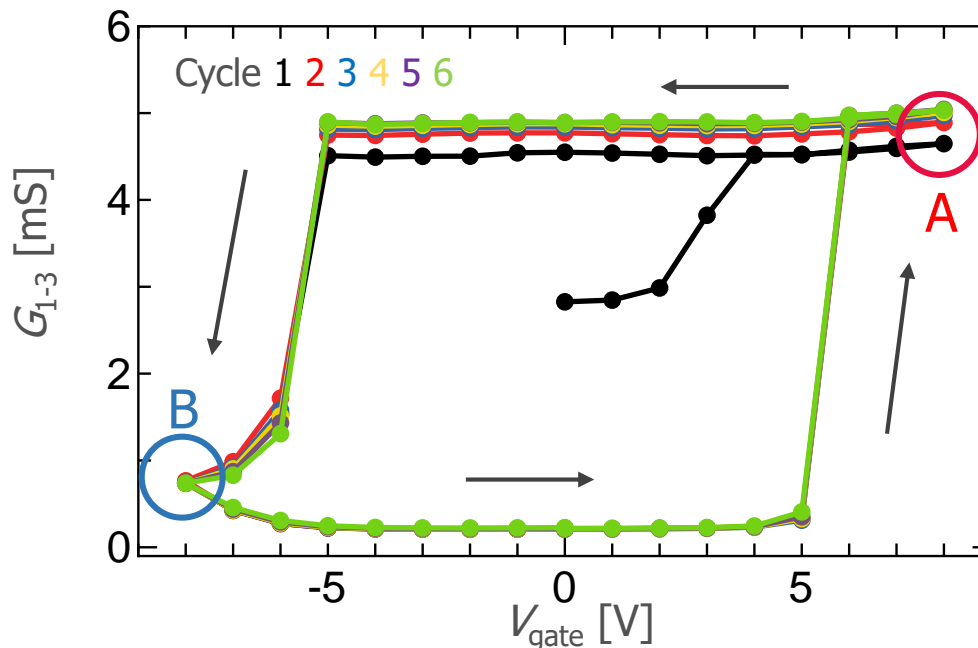
Ti³⁺ color center

4端子TiO_{2-x}メモリスタ

Voltage application protocol for measuring conductance G_{1-3} between T1 and T3



Variation of G_{1-3} and oxygen vacancy distribution depending on V_{gate}



Electrocoloring clearly reveals V_{gate} -modulated oxygen vacancy distribution, consistent with G_{1-3} modulation

2次元ポテンシャル・酸素空孔分布シミュレーション

酸素空孔のドリフト・拡散モデル

ポアソン方程式

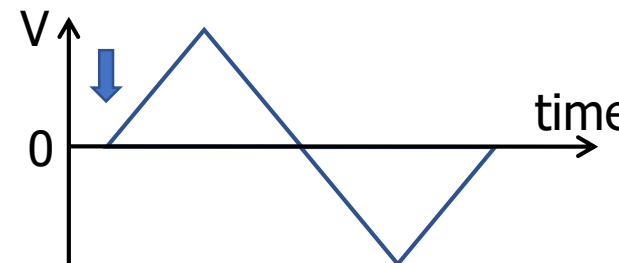
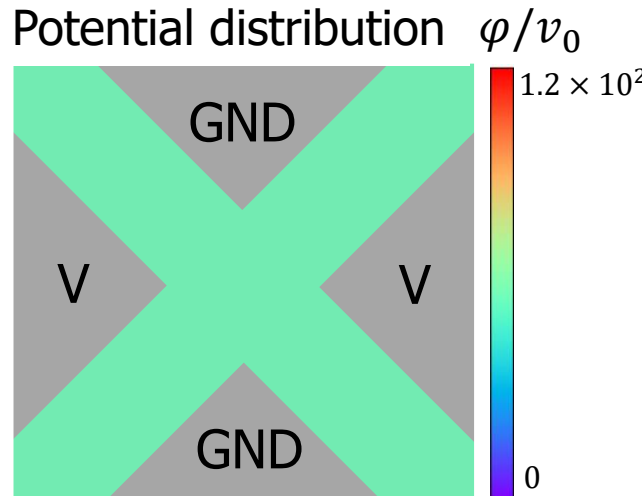
$$\nabla^2 \varphi = -\frac{q}{\epsilon} (p - n + N_d - N_a)$$

キャリア連続の式

$$\nabla \cdot (qp\mu_p \nabla \varphi + qD_p \nabla p) = 0 \quad \nabla \cdot (qn\mu_n \nabla \varphi - qD_n \nabla n) = 0$$

ドナーイオン連続の式

$$q \frac{dN_d}{dt} = \nabla (qn\mu_i \nabla \varphi - qD_i \nabla N_d) \quad \text{← ドリフト・拡散近似}$$



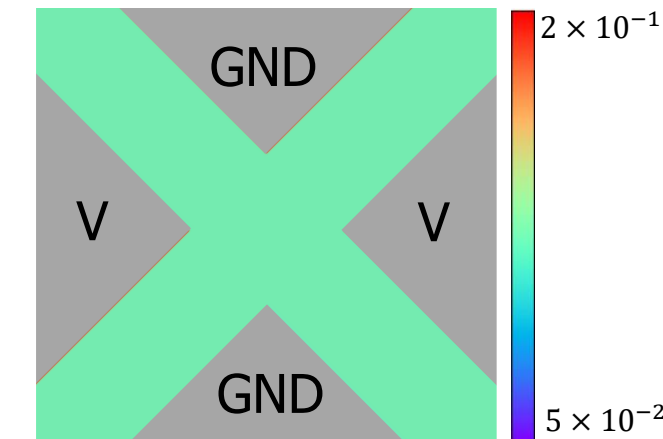
キャリア連続の式
ドナーイオン連続の式



ポアソン方程式

熱起電力 $v_0 = k_b T/e$
電極内 $N_{d0} = 5 \times 10^{26}$
初期値 $N_d^* = 5 \times 10^{25}$

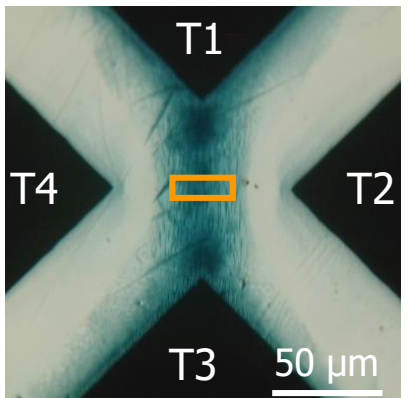
Donor density distribution N_d/N_{d0}



TiO_{2-x} (100)素子と(001)素子の比較：結晶構造

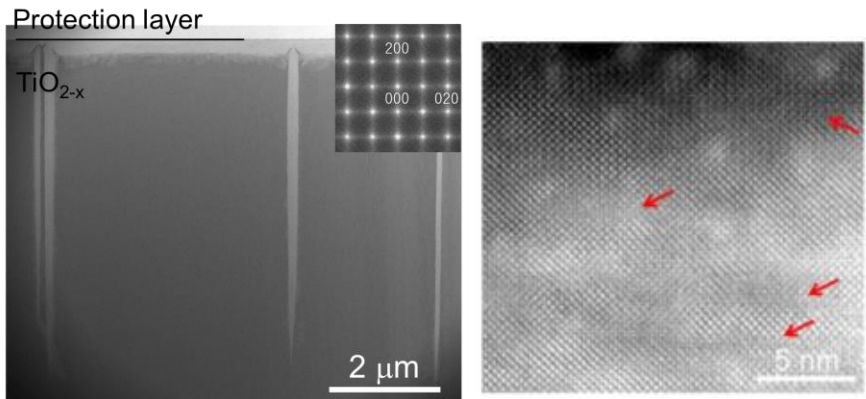
HAADF-STEM observations

(100) Oriented device



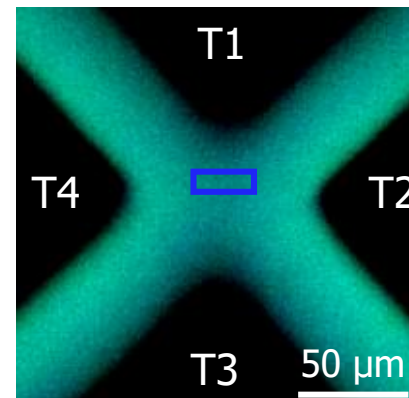
[001]
[100] [010]

Crystal structure in colored region



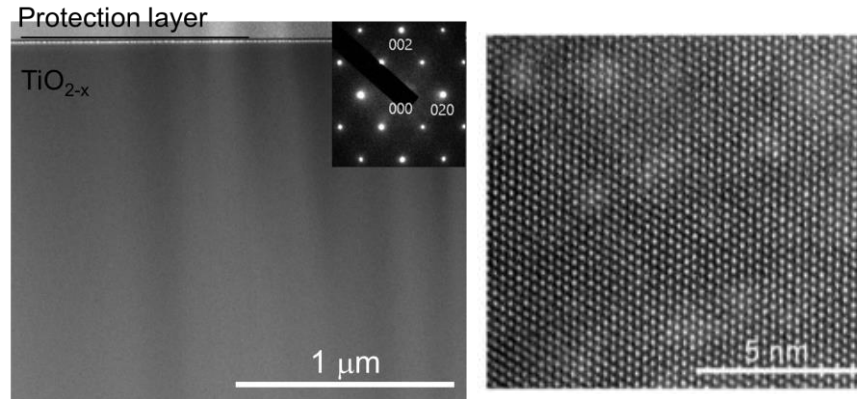
面状欠陥構造（筋状明コントラスト）
局所格子欠陥

(001) Oriented device



[010]
[001] [100]

Crystal structure in colored region

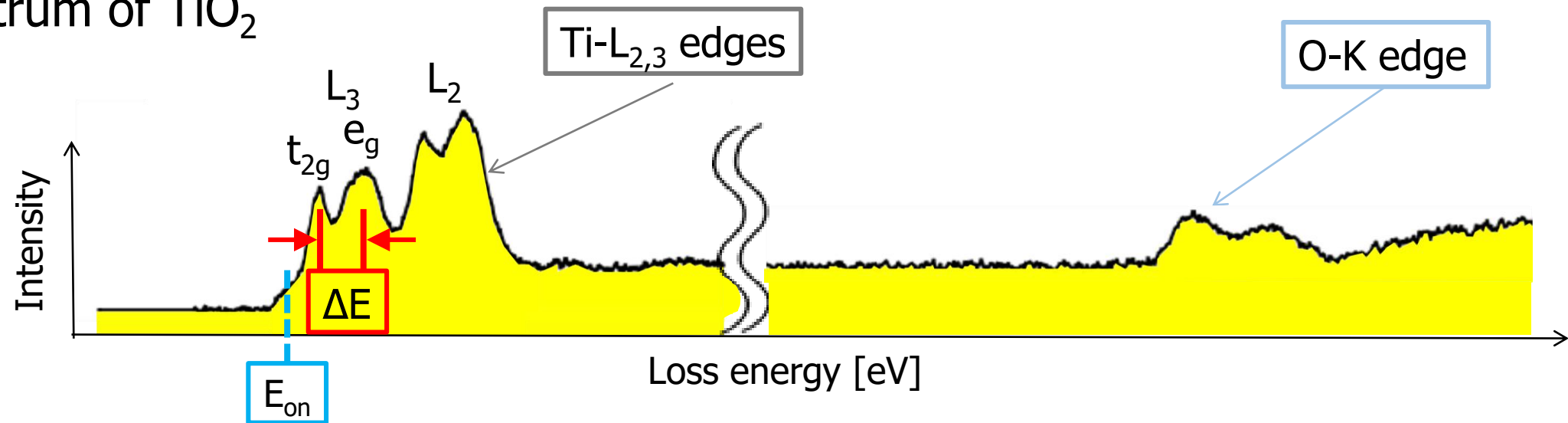


結晶構造変化が少ない
均一な格子構造

STEM-EELS 分析

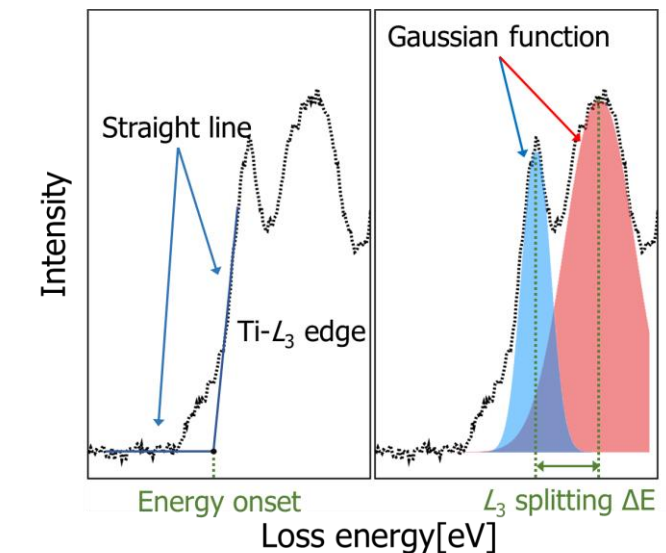
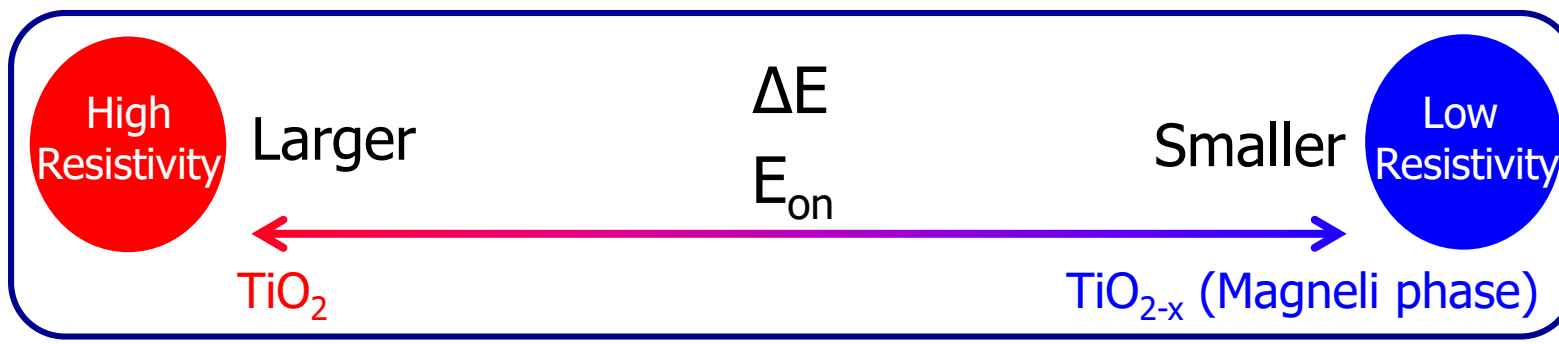
*EELS : Electron Energy Loss Spectroscopy

Spectrum of TiO_2



組成情報の抽出

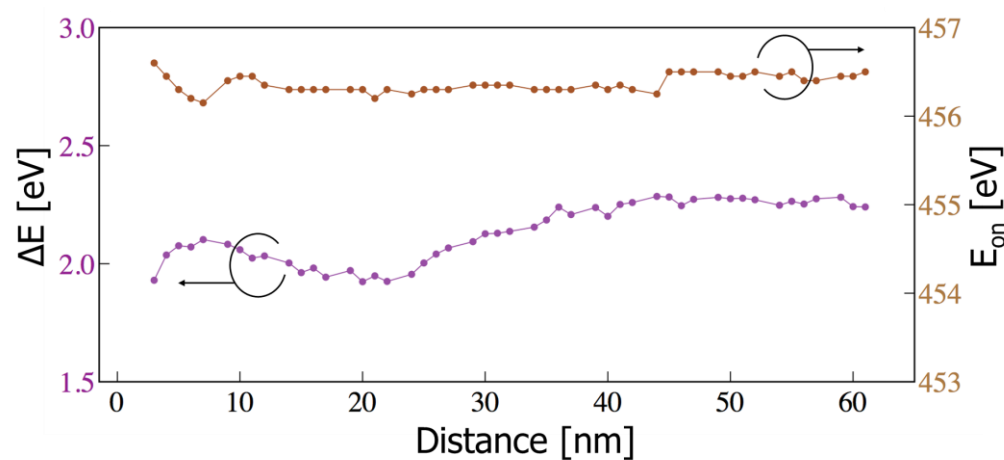
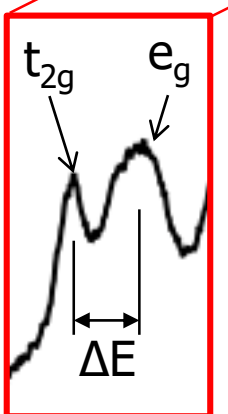
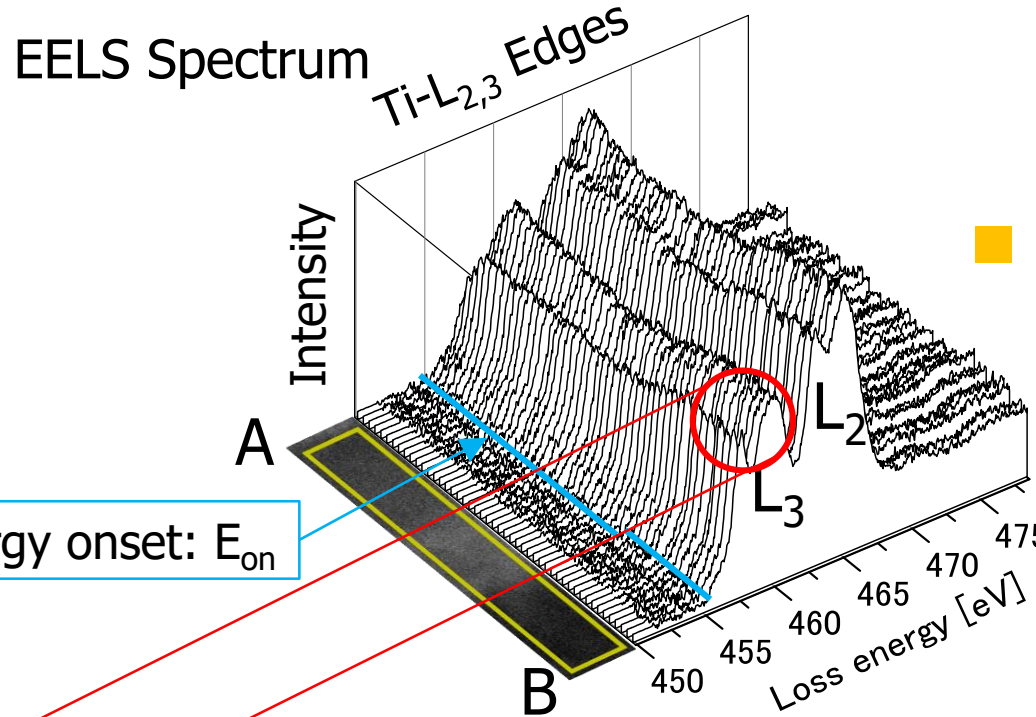
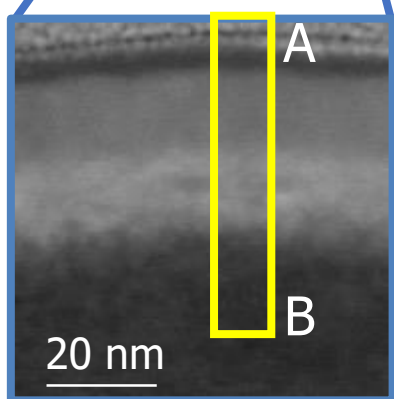
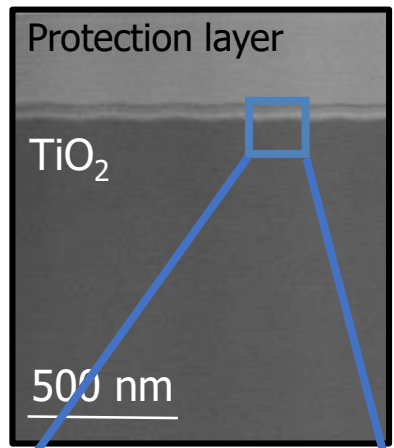
Energy splitting of e_g and t_{2g} : ΔE [1], [2]
Energy onset of $\text{Ti-L}_{2,3}$ edges : E_{on}



STEM-EELS 分析 : Colorless領域



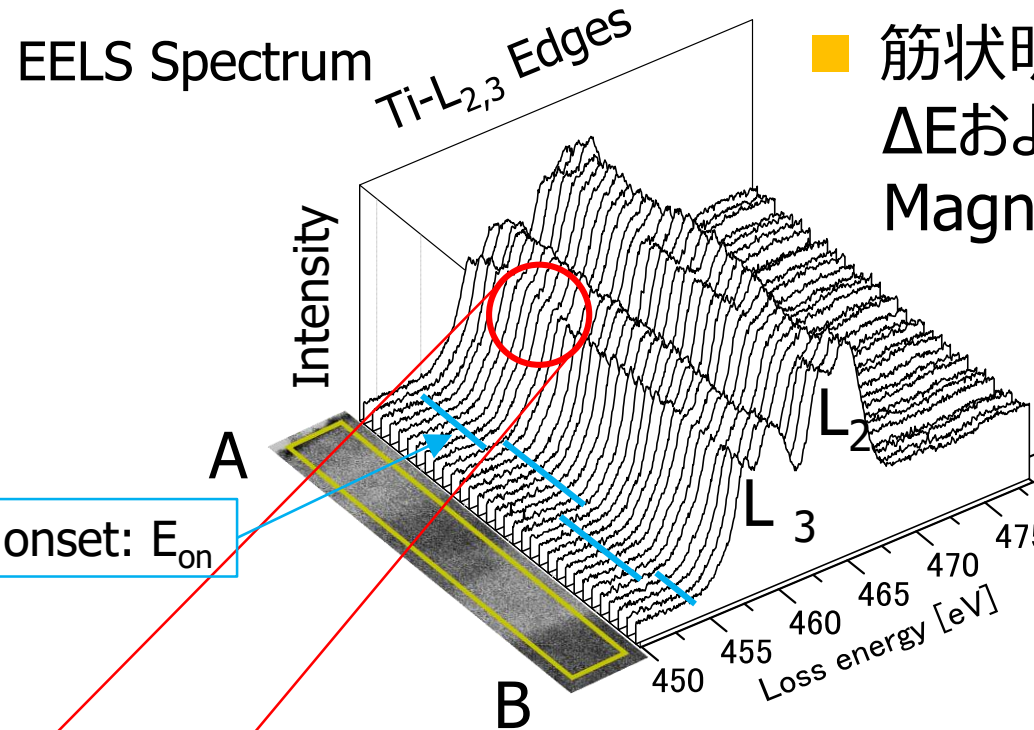
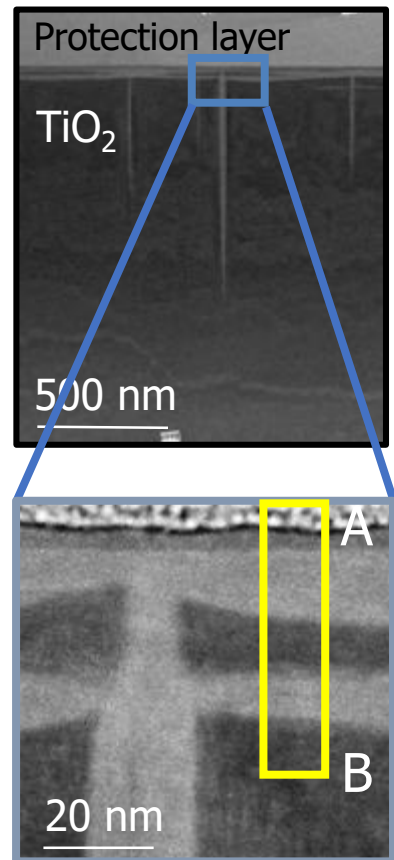
HAADF-STEM Image



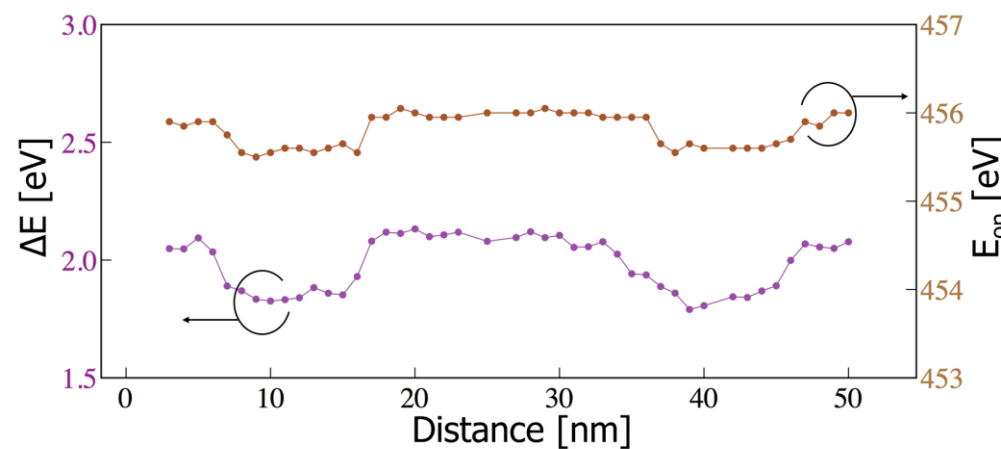
STEM-EELS 分析 : Colored 領域



HAADF-STEM Image

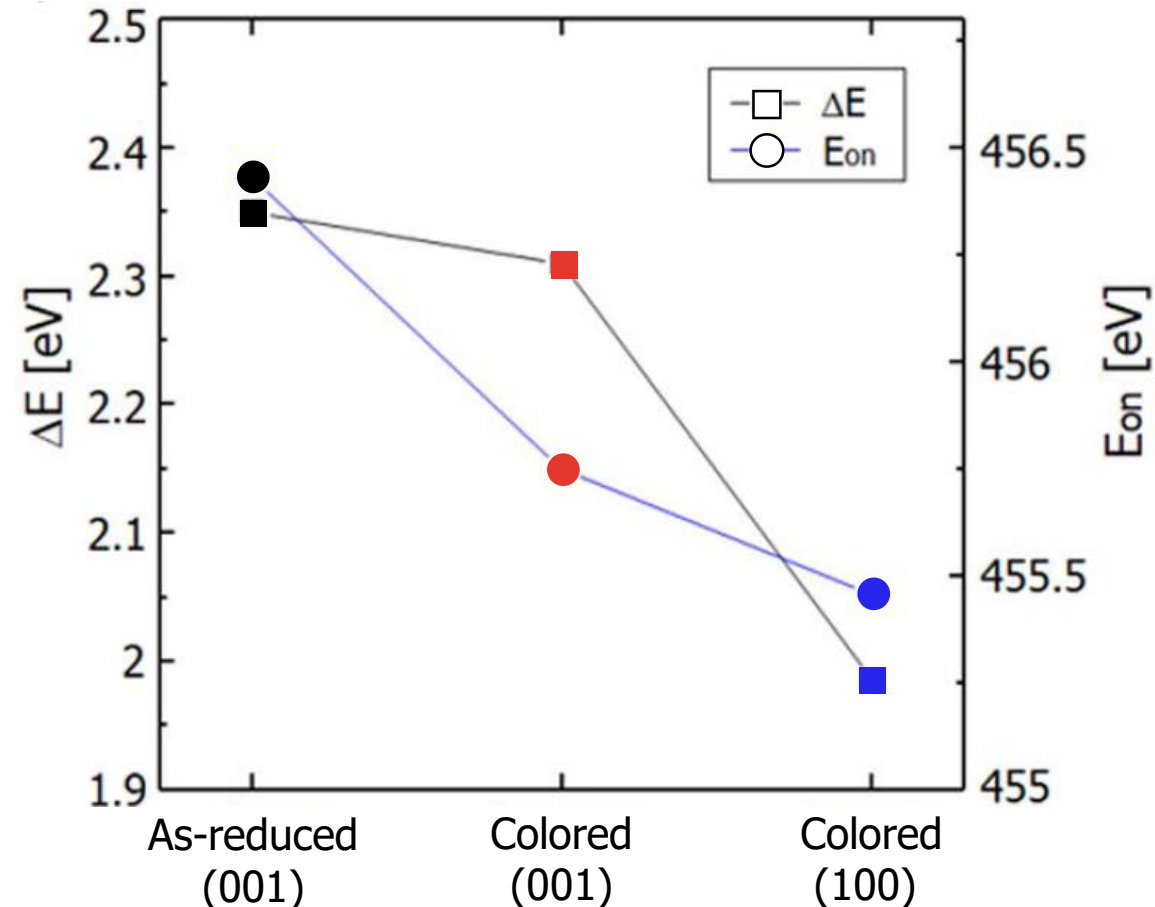
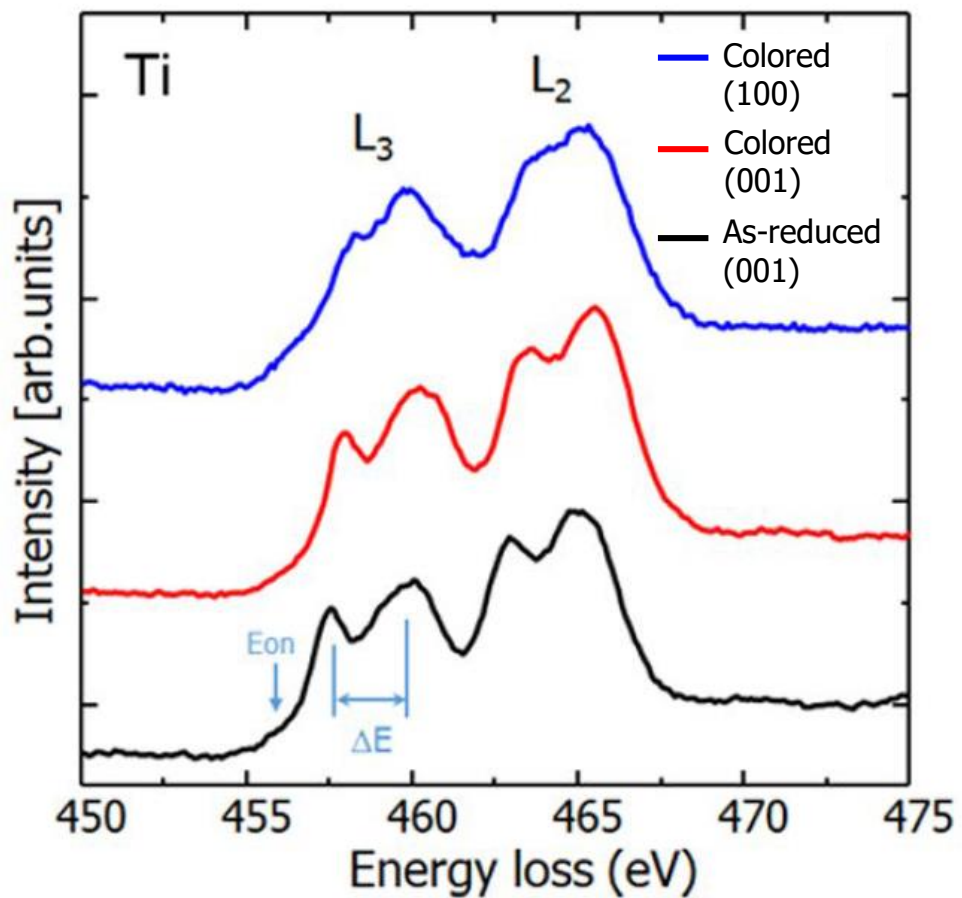


- 筋状明コントラスト
ΔEおよびE_{on}の局所的減少
Magneli phase-like



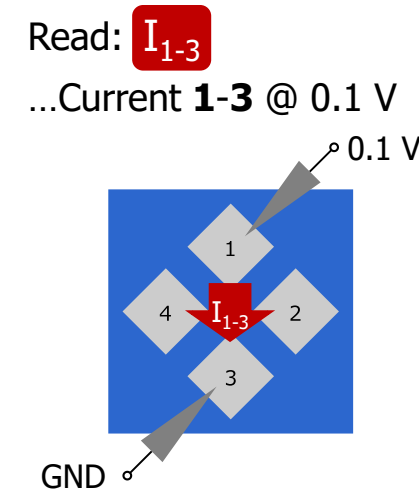
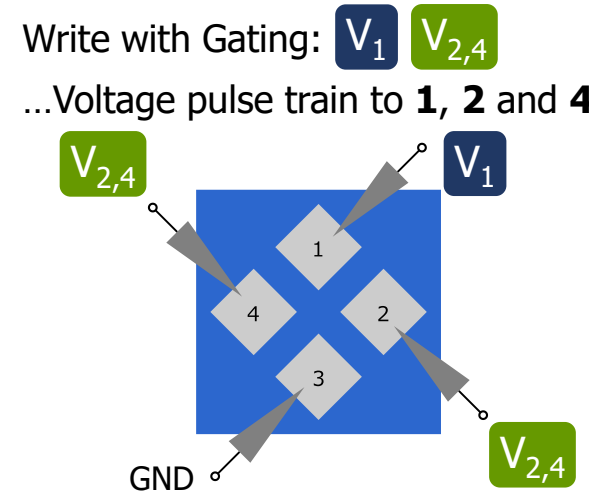
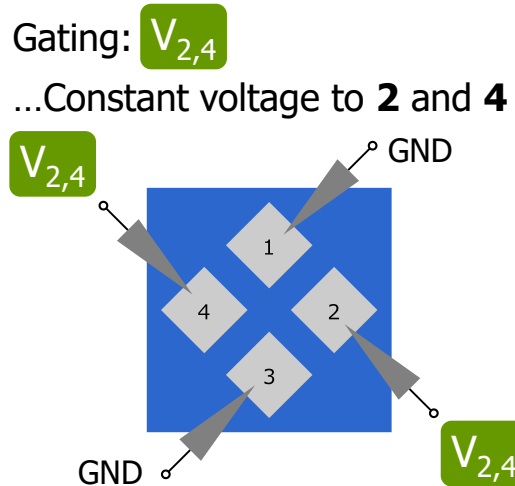
TiO_{2-x}(100)素子と(001)素子の比較：電子構造

STEM-EELS measurements

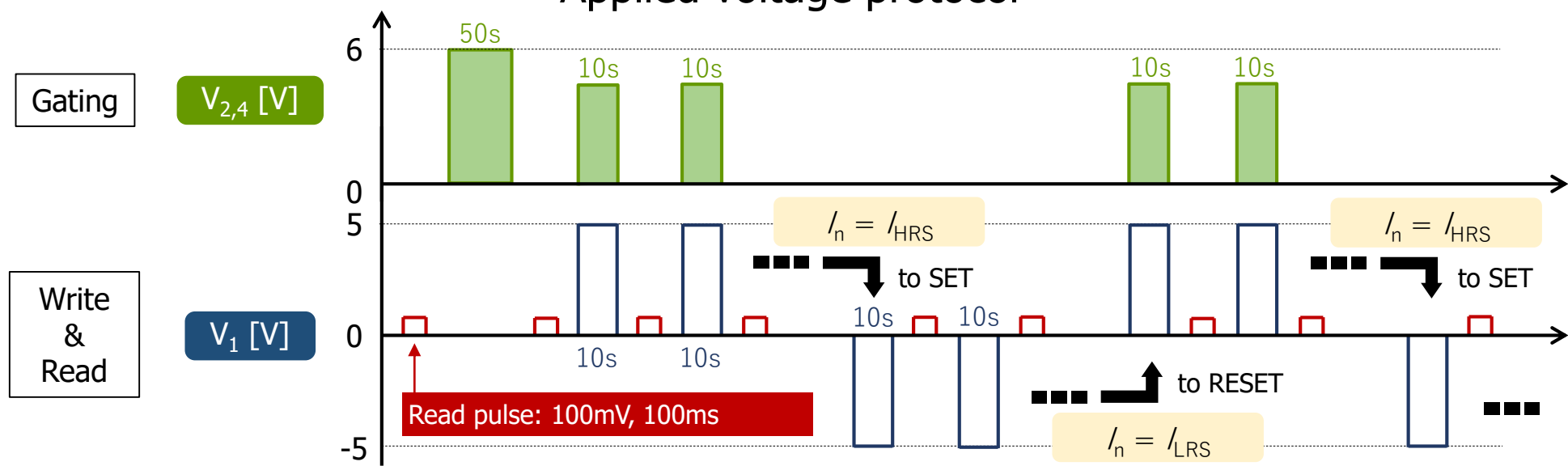


- Ti 値電子状態に明確な違い
- 過度の結晶変形を伴わないmoderateな電子状態変化

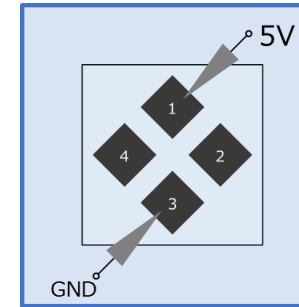
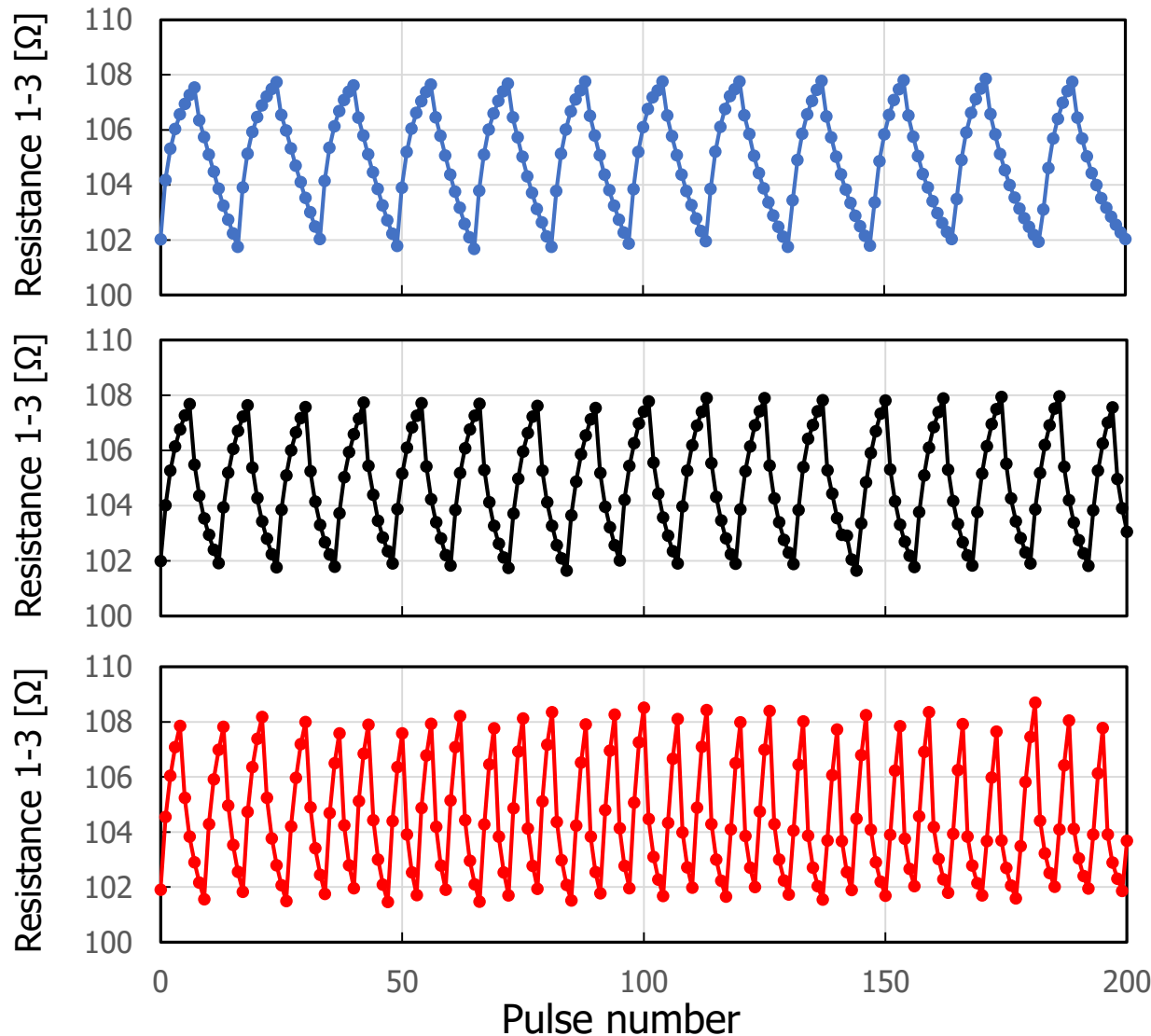
4端子メモリスタ素子：ゲート変調の電圧印加プロトコル



Applied voltage protocol

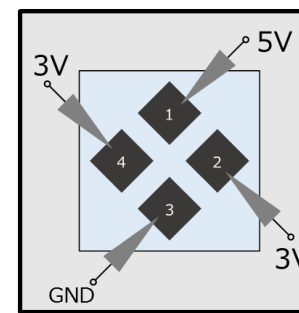


Depletion/Potentiation 特性のゲート変調

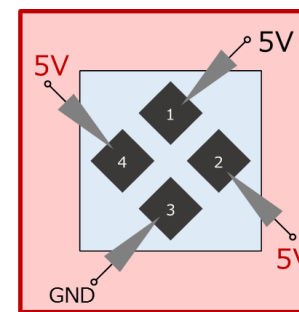


Gate voltage

n/a



3 V



5 V

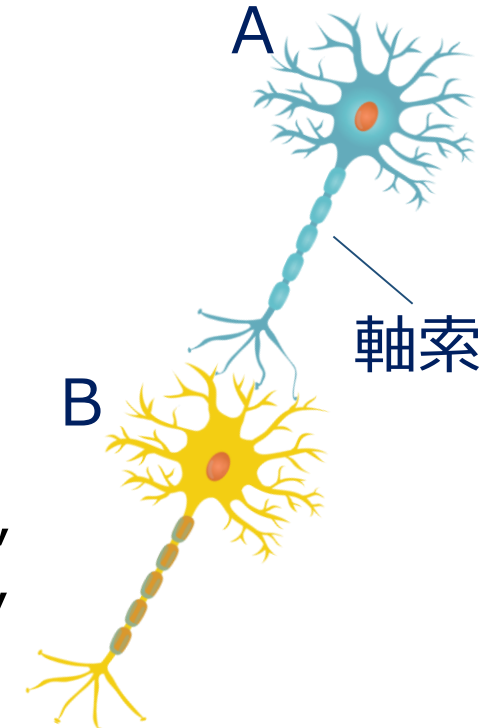
■ ゲート変調によるシナプスの学習／忘却効率の制御が可能

Hebbの法則

『The Organization of Behavior』 D. O. Hebb 1949

"When an axon of cell A is near enough to excite a cell B and repeatedly or persistently takes part in firing it, some growth process or metabolic change takes place in one or both cells such that A's efficiency, as one of the cells firing B, is increased."

「細胞Aの軸索が細胞Bを興奮させるのに十分に近く、かつそれが繰り返しあるいは持続的にBの発火に関与する場合、AまたはB、あるいはその両方において、何らかの成長過程や代謝変化が生じ、AがBを発火させる効率が向上する。」

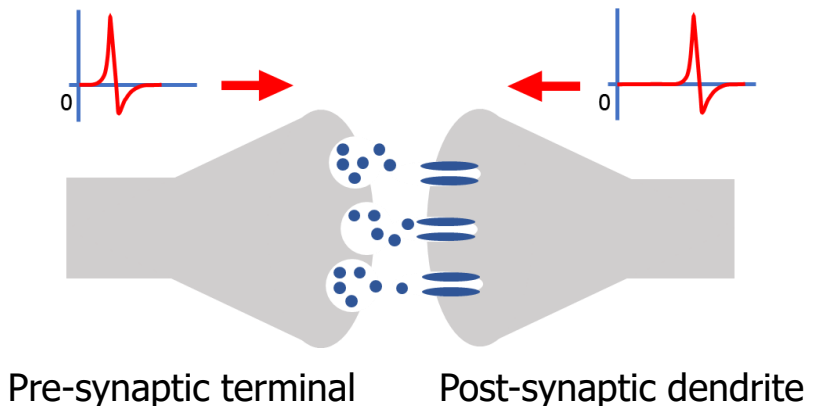


「一緒に発火するニューロンは結びつく」というシナプス可塑性の基本概念

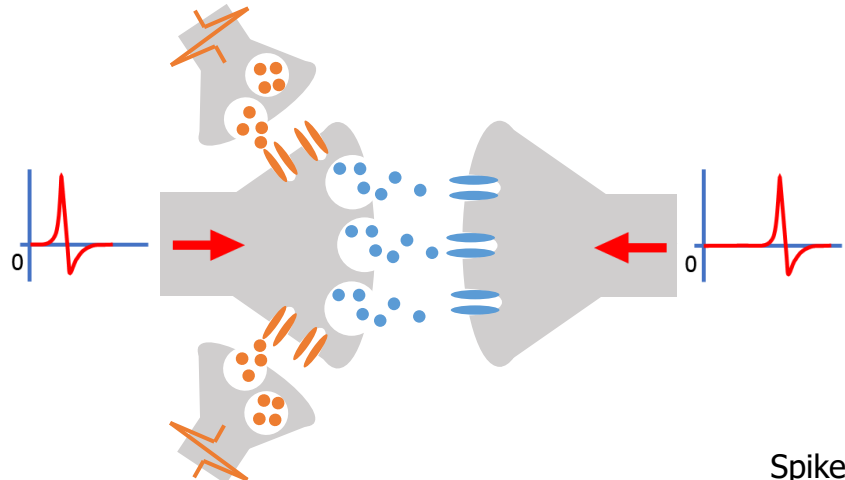
シナプス可塑性：経験や学習によって神経細胞間の結合（シナプス）強度が変化する現象

Spike-timing-dependent plasticity (STDP)

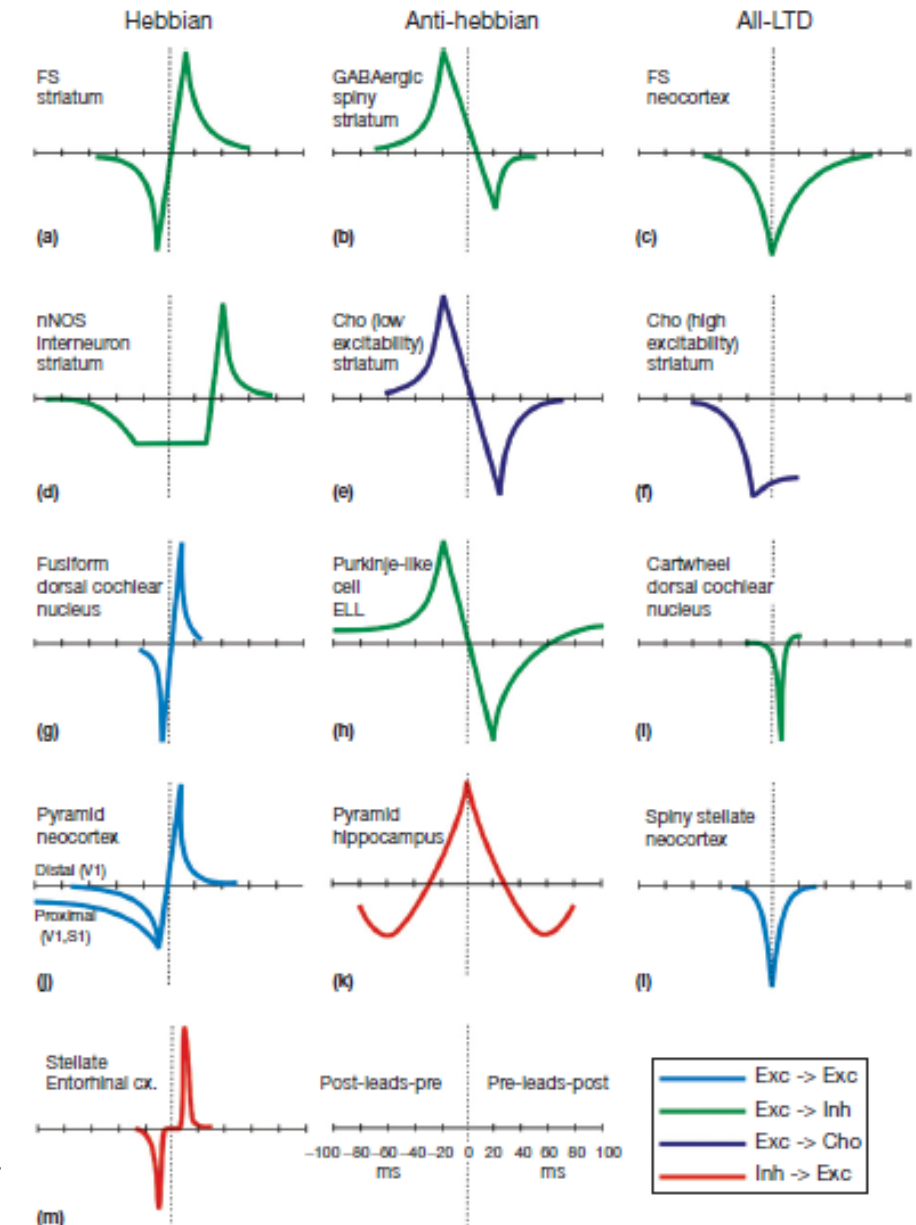
信号入力時刻差に依存するシナプス重み変化



ヘテロシナプス可塑性によるSTDP特性の変調

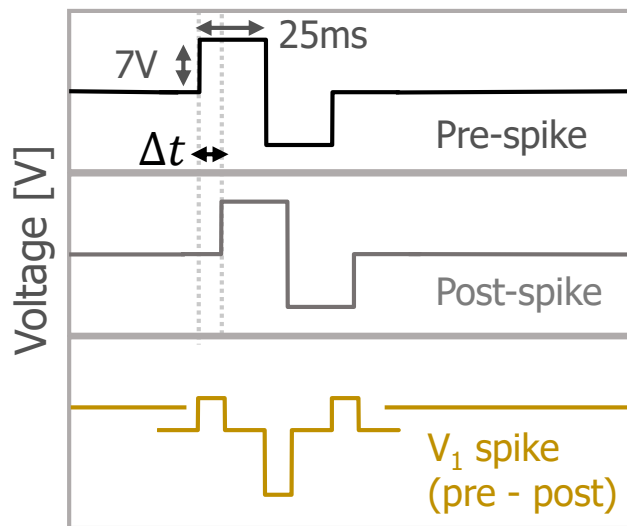


Spike Timing-Dependent Plasticity
D. E. Shulz and D. E. Feldman
From *Comprehensive Developmental Neuroscience Neural Circuit Development and Function in the Healthy and Diseased Brain*

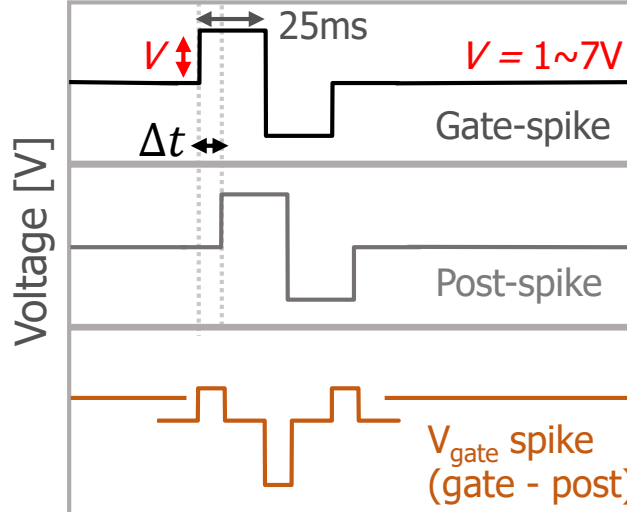


ゲート電圧印加によるSTDP特性の変調

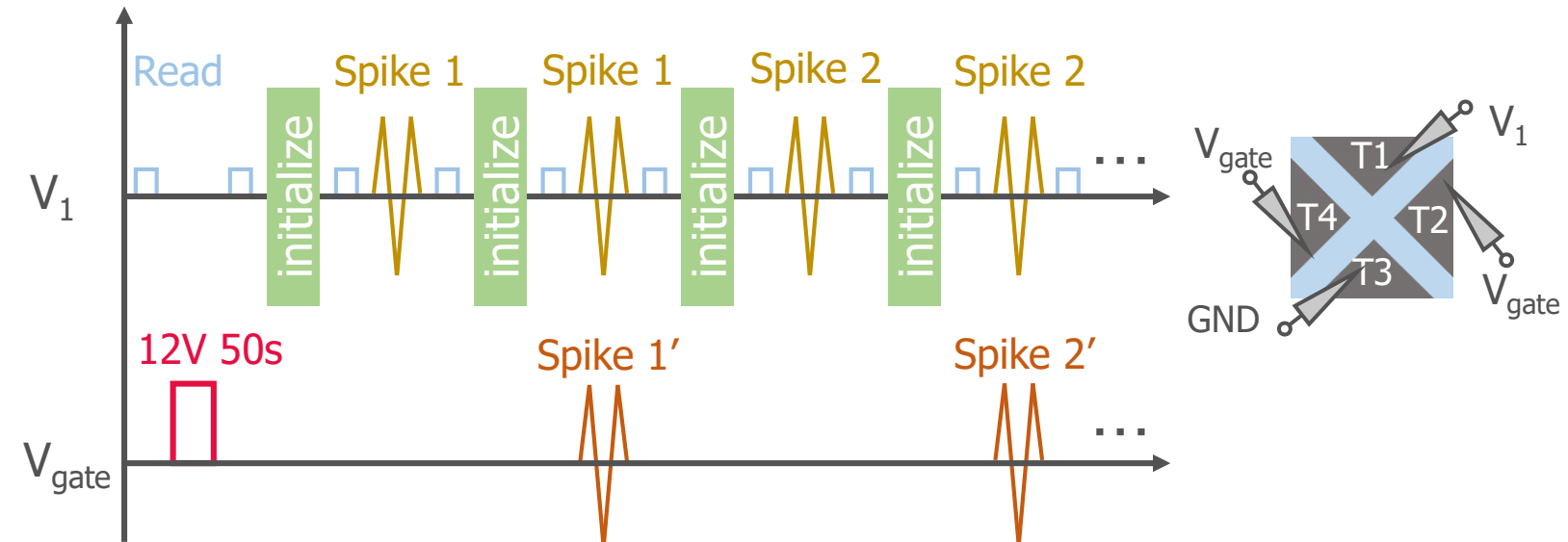
V₁ Spike Pulse



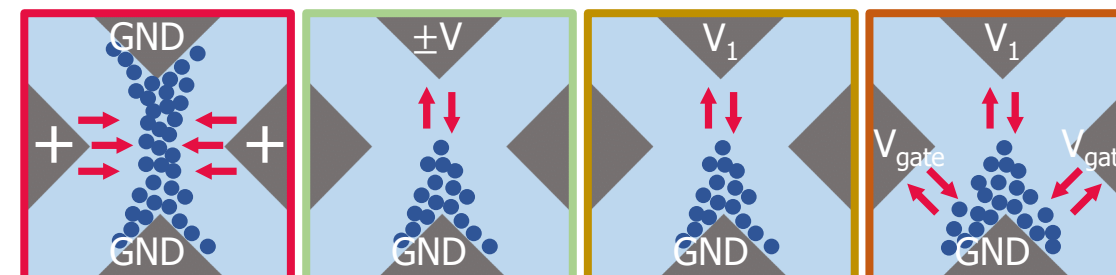
V_{gate} Spike Pulse



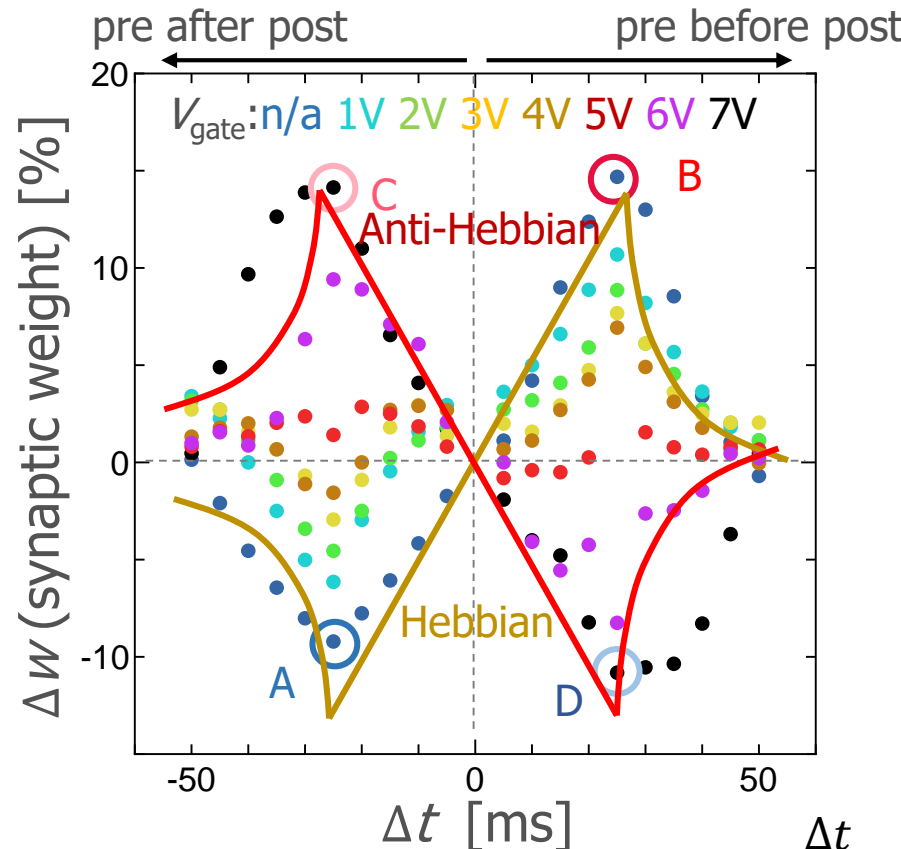
電圧印加プロトコル



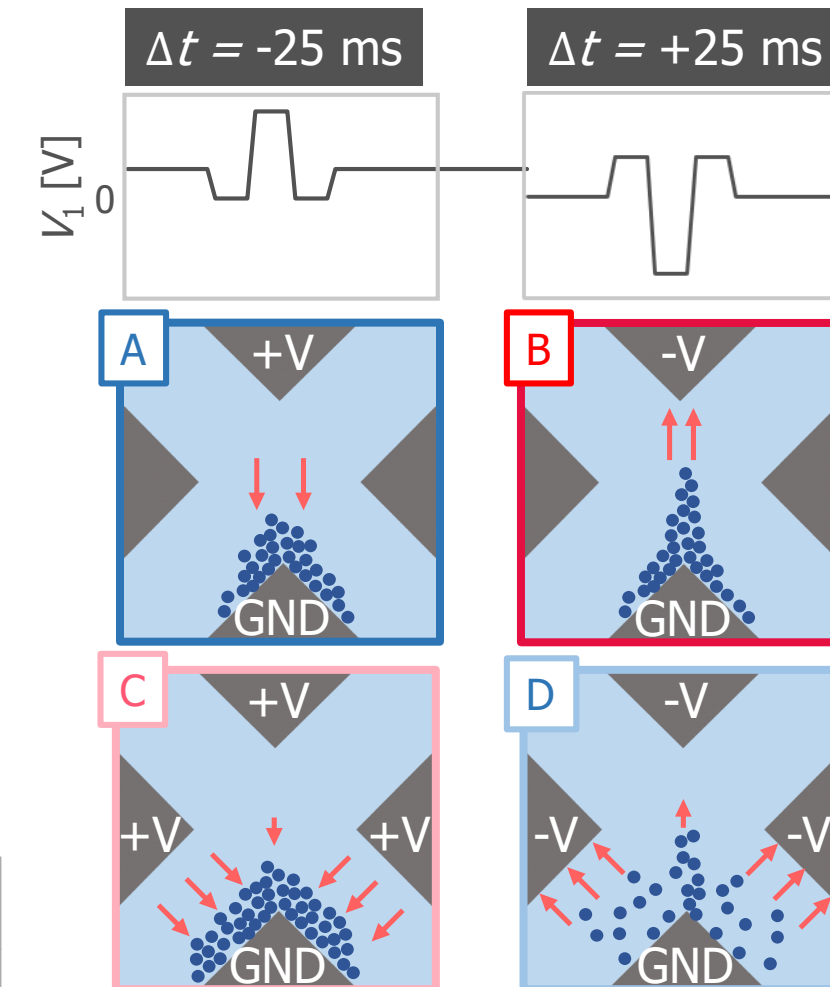
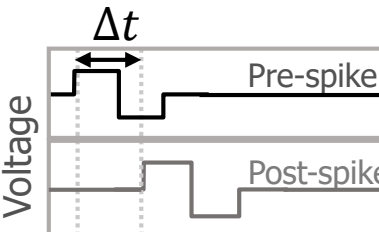
酸素空孔分布



ゲート電圧印加によるSTDP特性の変調



$$\Delta w = \frac{G_{\text{after}} - G_{\text{before}}}{G_{\text{before}}} \times 100 [\%]$$

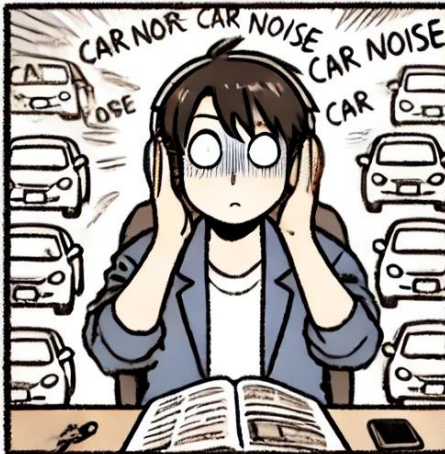


- 2端子モードでのSTDP特性
- ゲート電圧に依存するSTDP特性

- Silent synapseの実現
- HebbianからAnti-Hebbianモード

日常的に起こる馴化と鋭敏化（感作）

馴化



当初に気になっていた騒音も慣れると
気にならなくなる

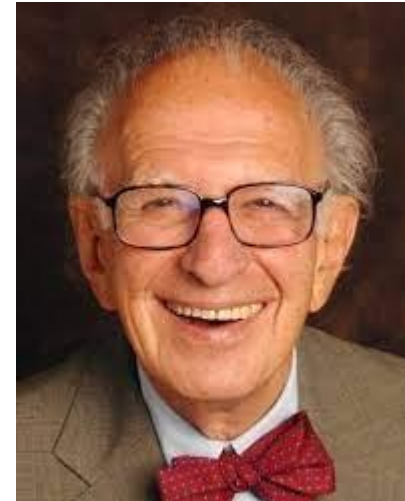
鋭敏化



突然大きな音を聞くとこれまで気になら
なかつた小さな音でも驚くようになる

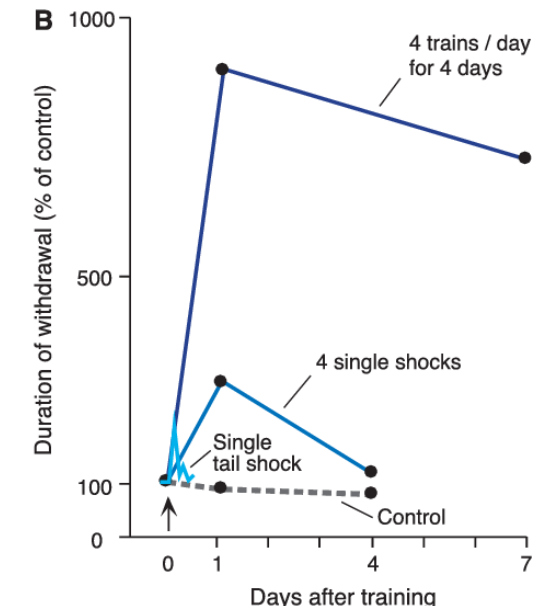
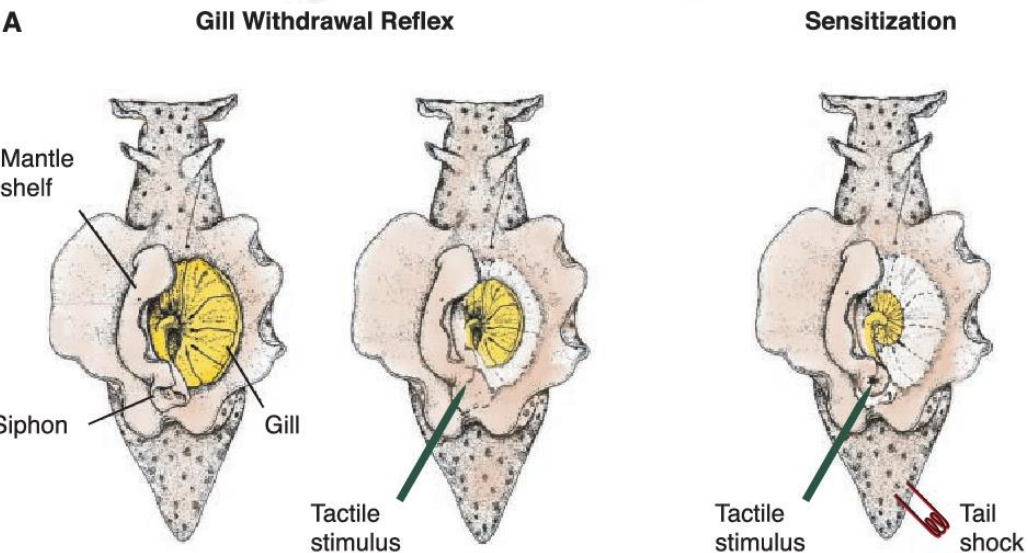
連合／非連合学習の神経科学的アプローチ

Aplysia



Eric Kandel

<https://jp.weforum.org/people/eric-kandel/>



The Molecular Biology of Memory Storage: A Dialog Between Genes and Synapses
E. Kandel, Bioscience Reports, Published 10 August 2004
DOI:10.1007/S10540-005-2742-7

馴化／鋭敏化の神経メカニズム

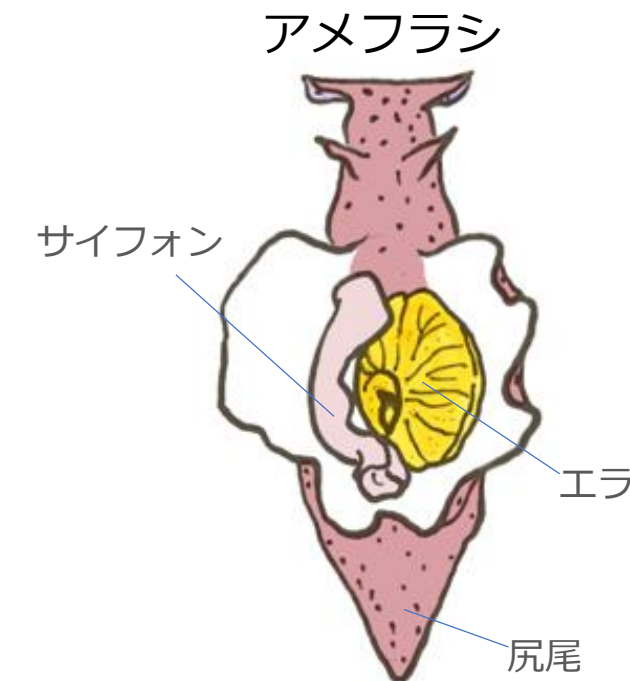
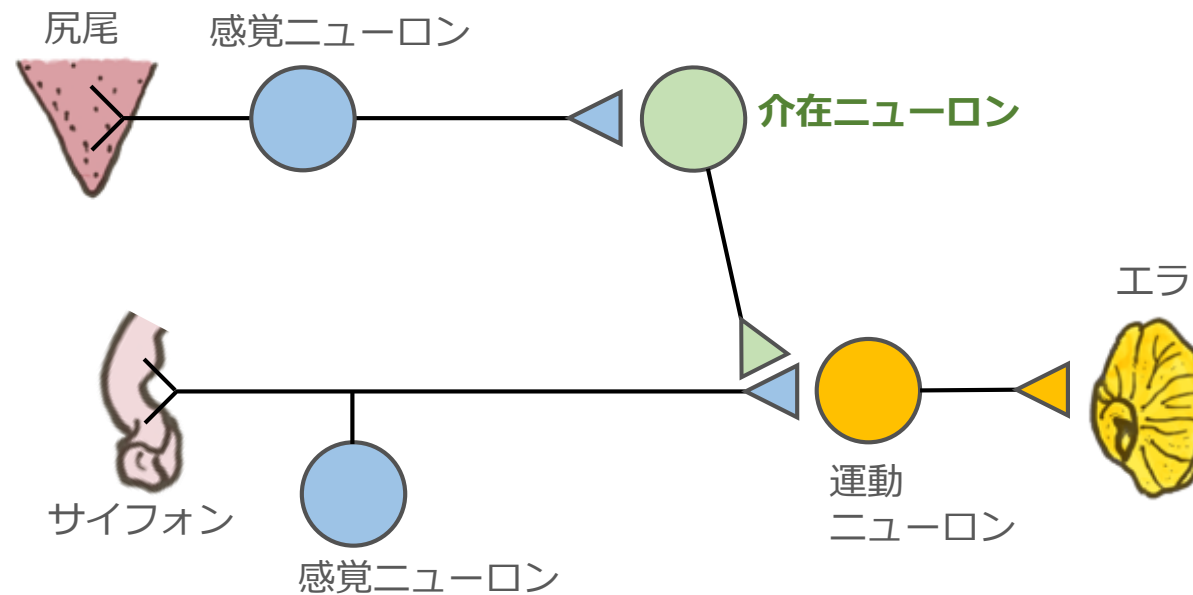
シナプス特性における馴化／鋭敏化

特定の刺激印加・印加プロトコルに対応してシナプス重みが変化

馴化：不必要的（無害な）刺激を無視する非連合学習

鋭敏化：当初弱い反応の刺激に対して感応度が増加する連合学習

馴化



馴化／鋭敏化の4端子メモリスタ素子への実装

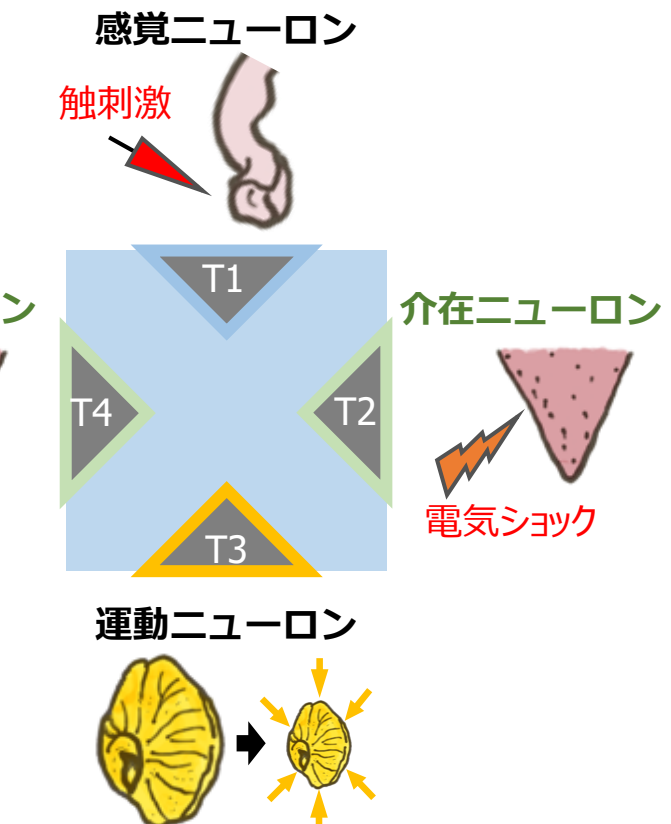
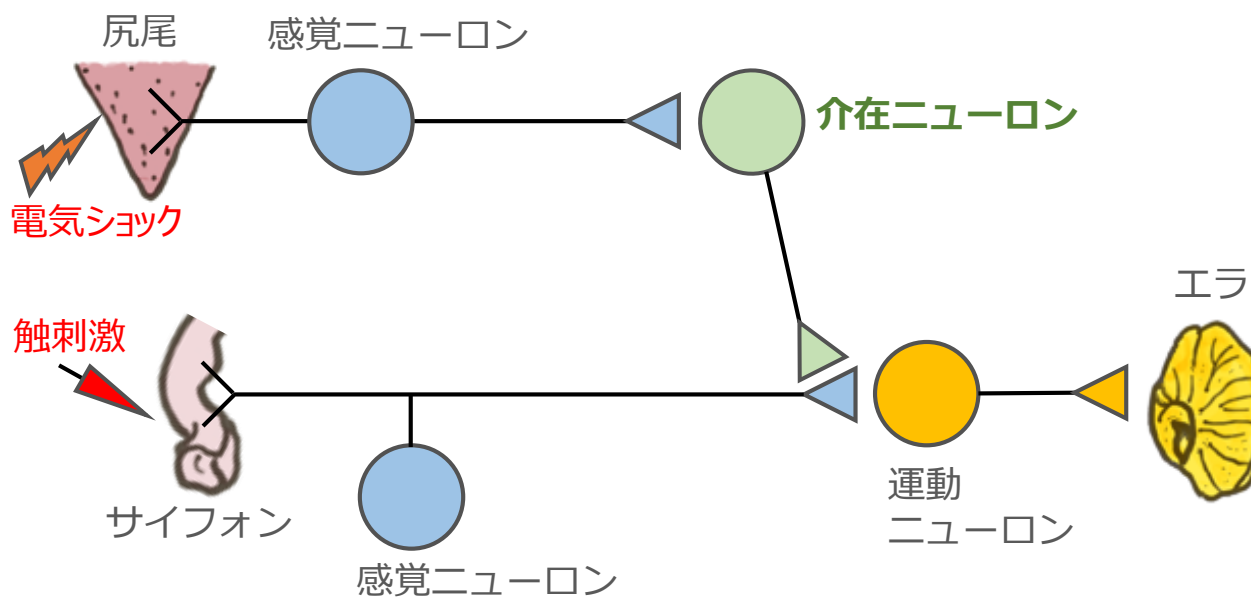
シナプス特性における馴化／鋭敏化

馴化

繰り返し電圧印加に伴うコンダクタンス変化度の減少

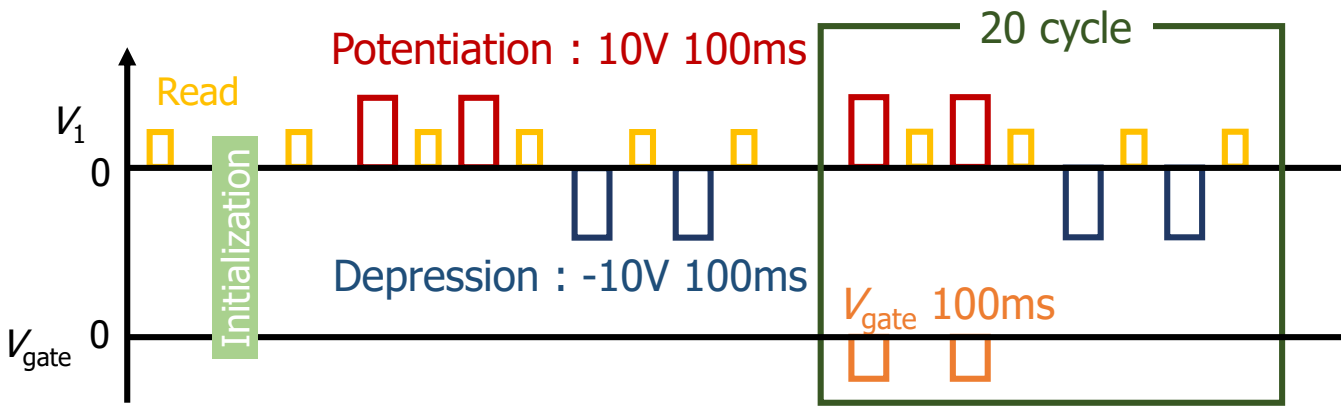
鋭敏化

介在ニューロンに見立てたゲート電極への強刺激（電圧印加）によるコンダクタンス変化度の増大

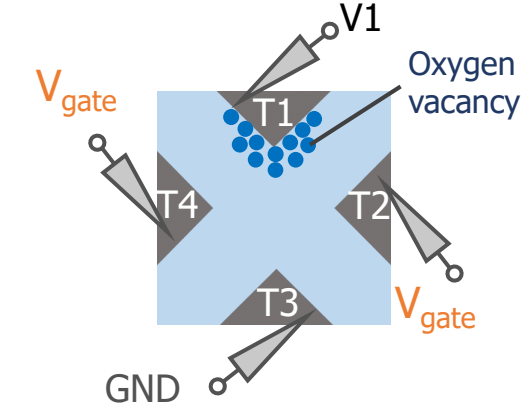


馴化／鋭敏化の電圧印加プロトコル

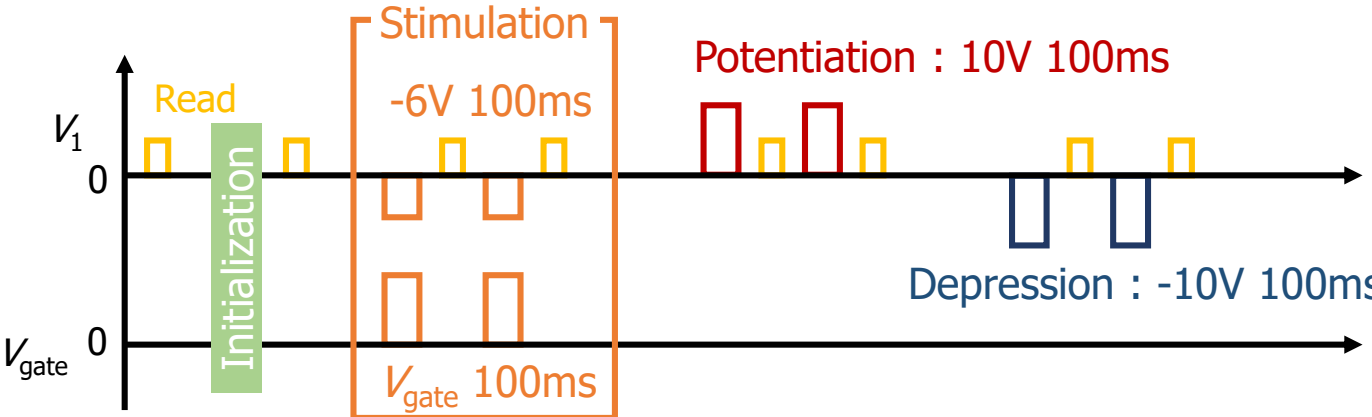
馴化



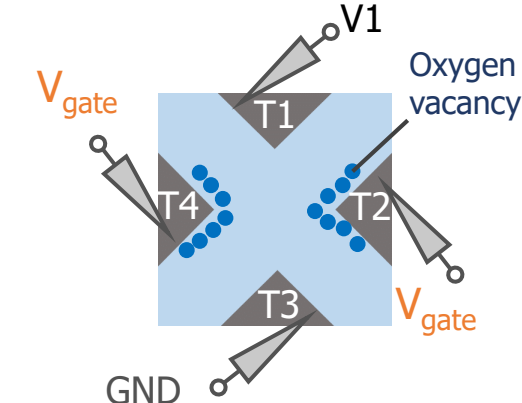
Initialized state



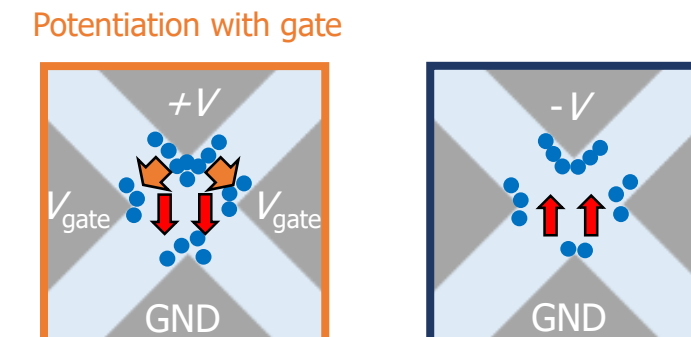
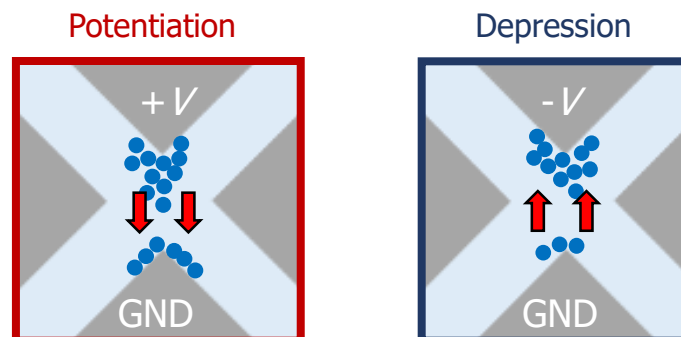
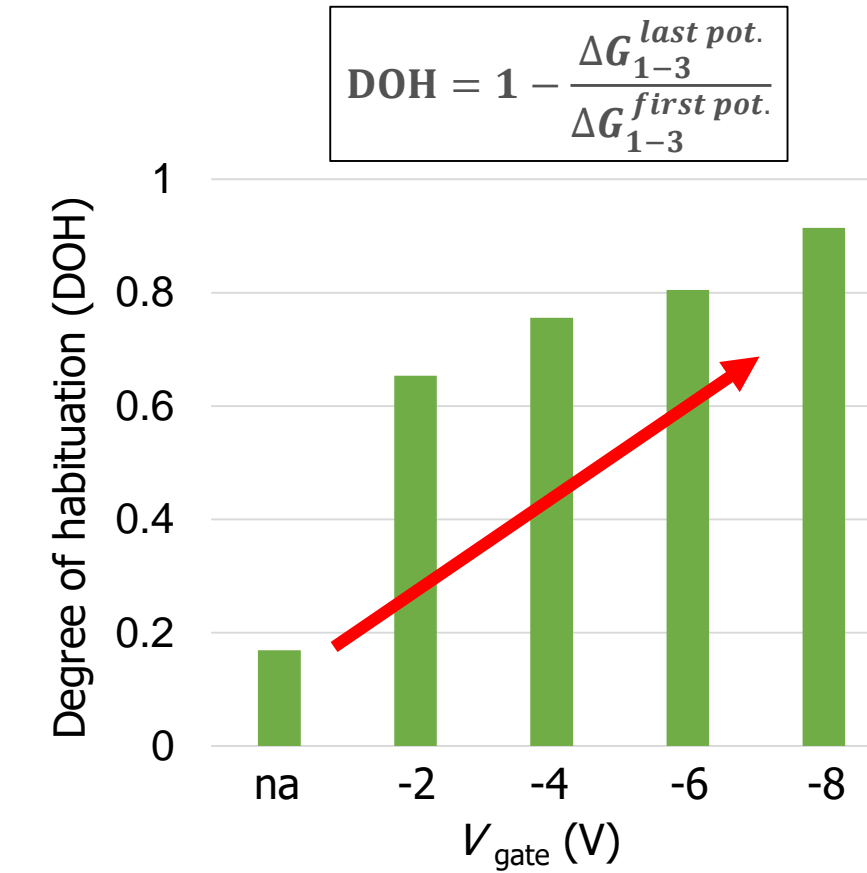
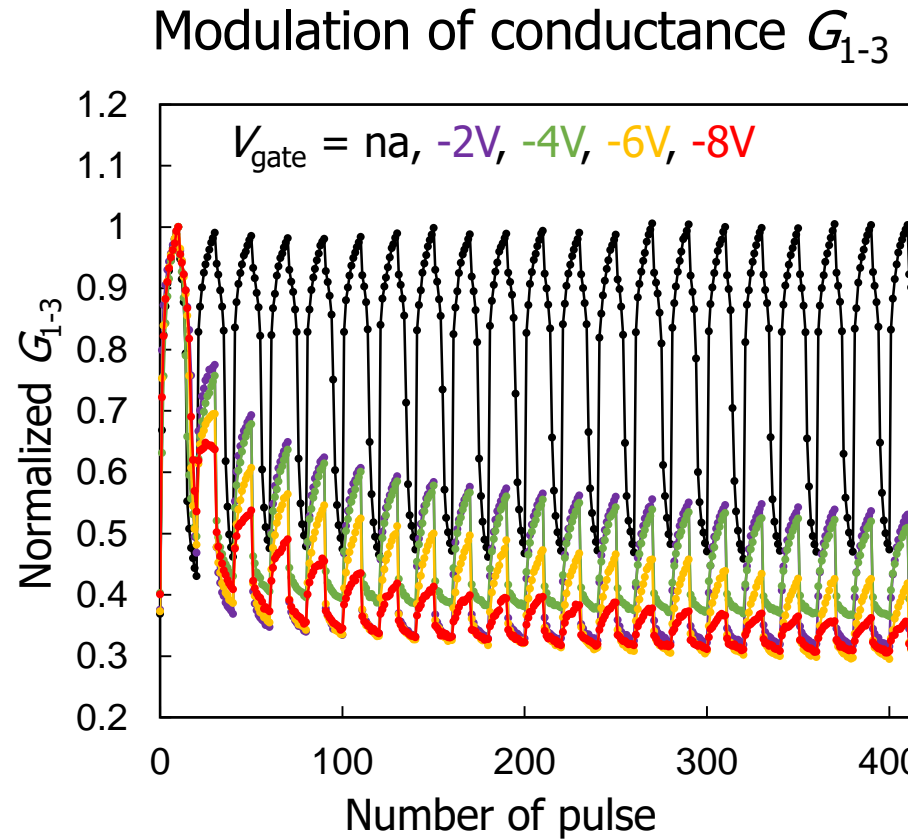
鋭敏化



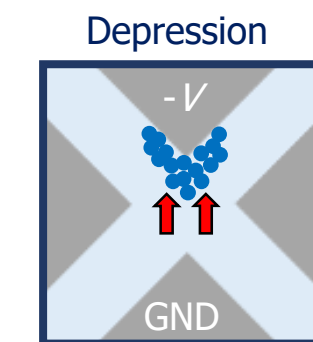
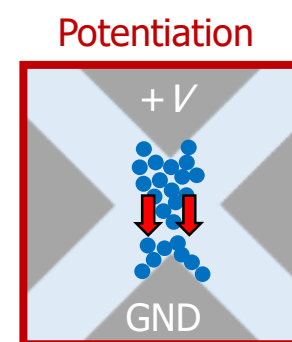
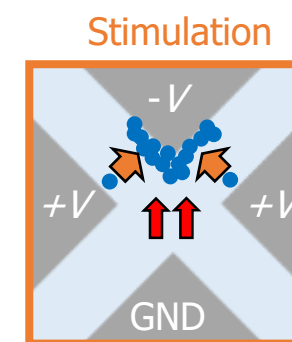
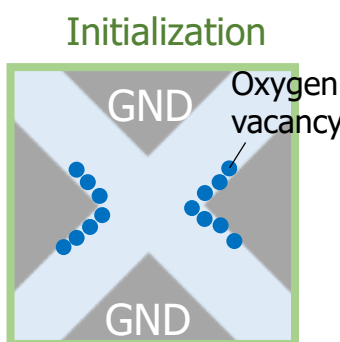
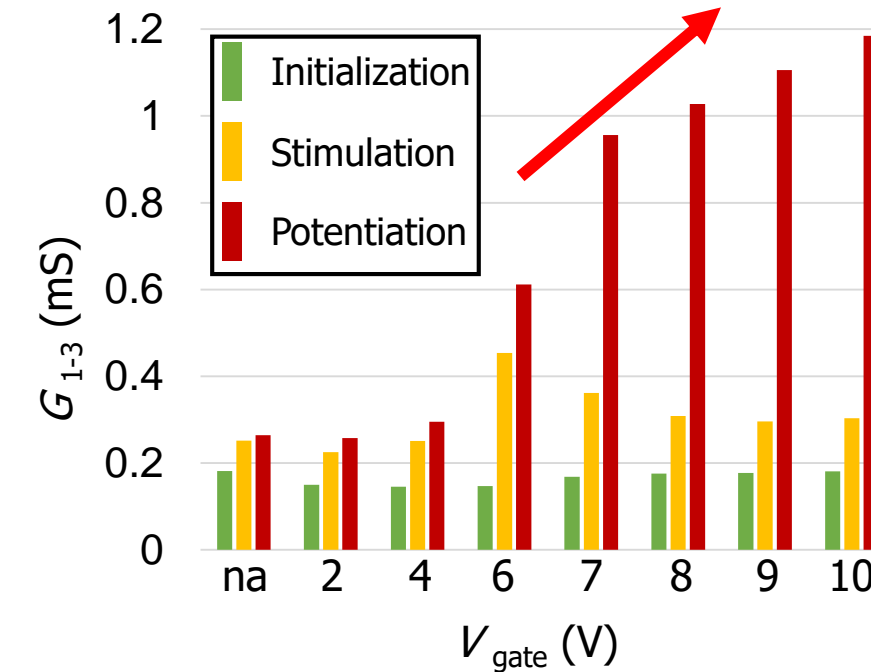
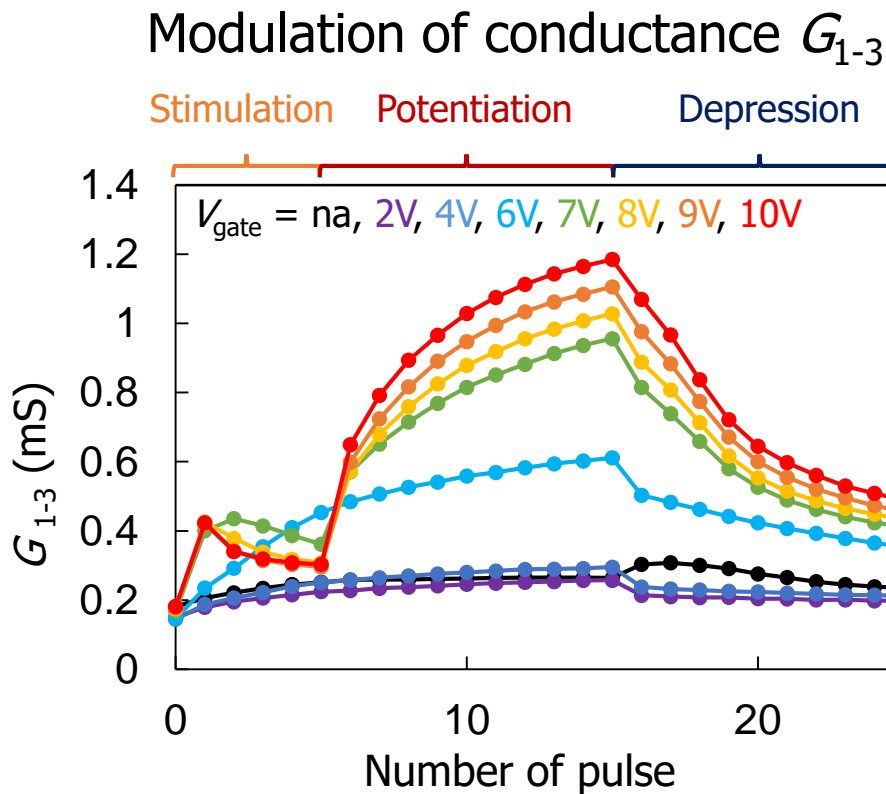
Initialized state



馴化を模倣するコンダクタンス変化



銳敏化を模倣するコンダクタンス変化

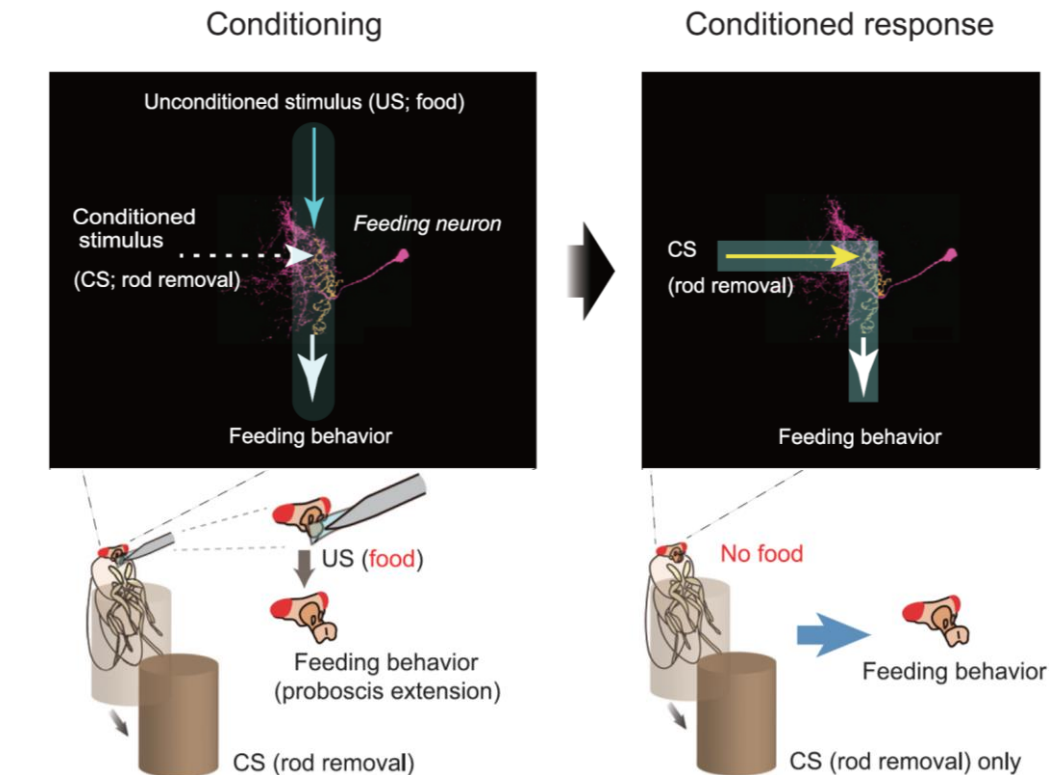


パブロフ型条件付け：連合学習

Ivan Pavlov : パブロフの犬



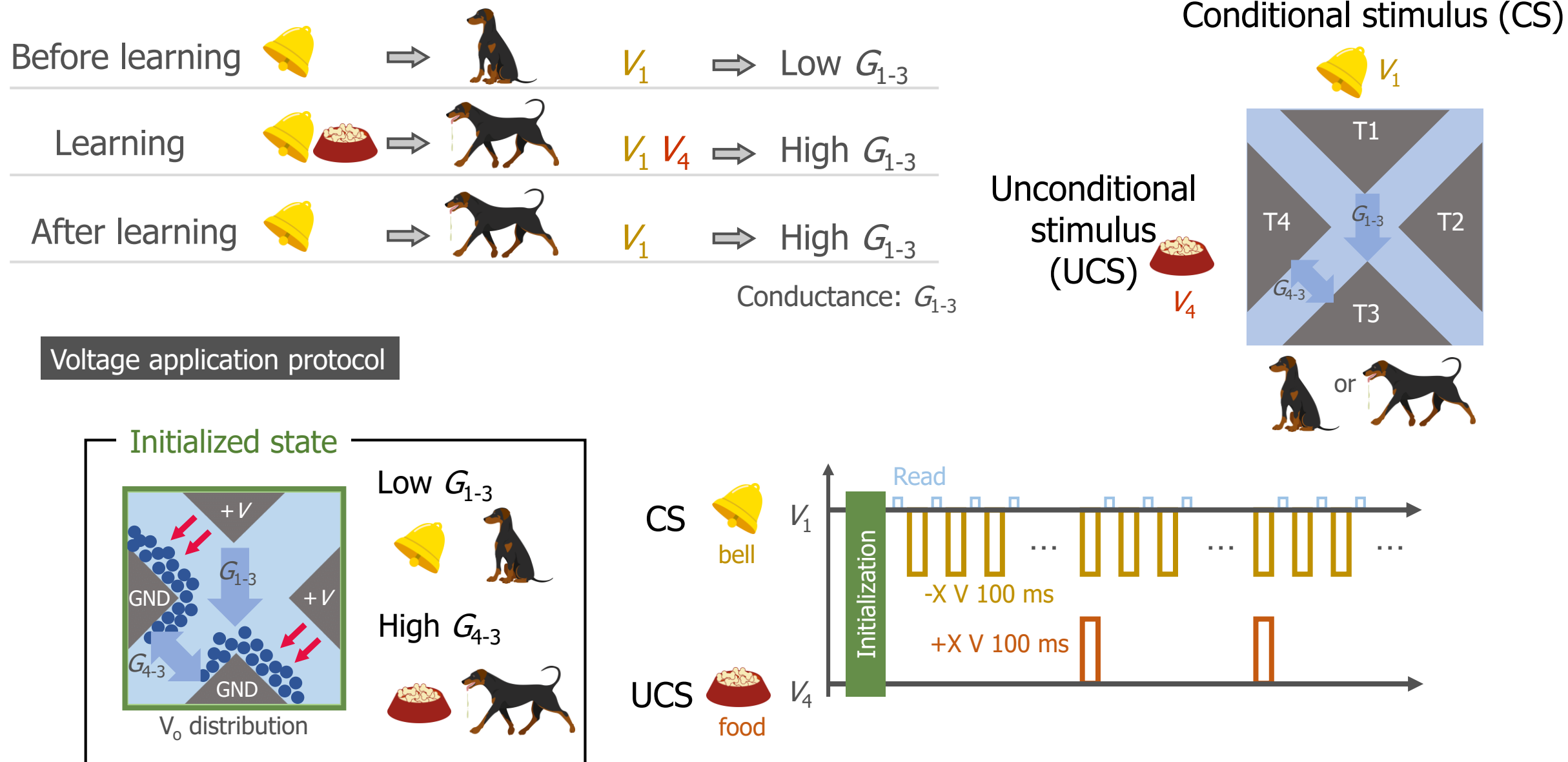
ショウジョウバエの脳における摂食命令ニューロンのパブロフ型条件付け



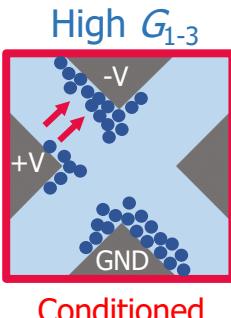
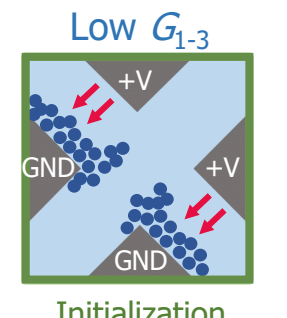
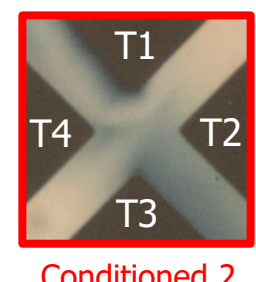
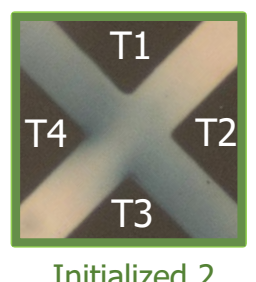
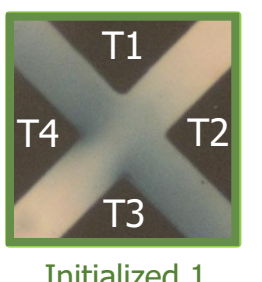
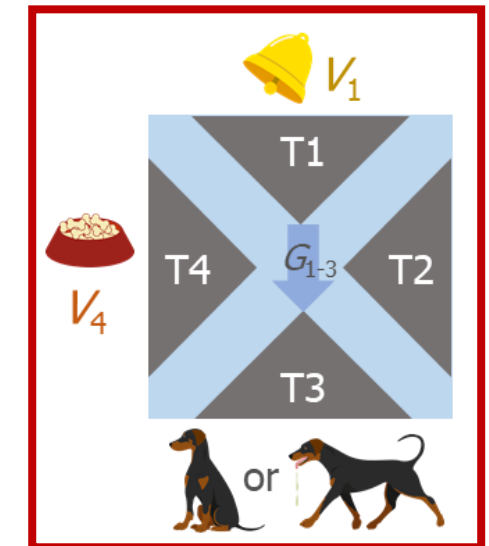
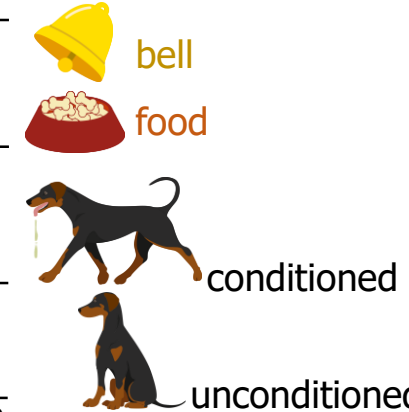
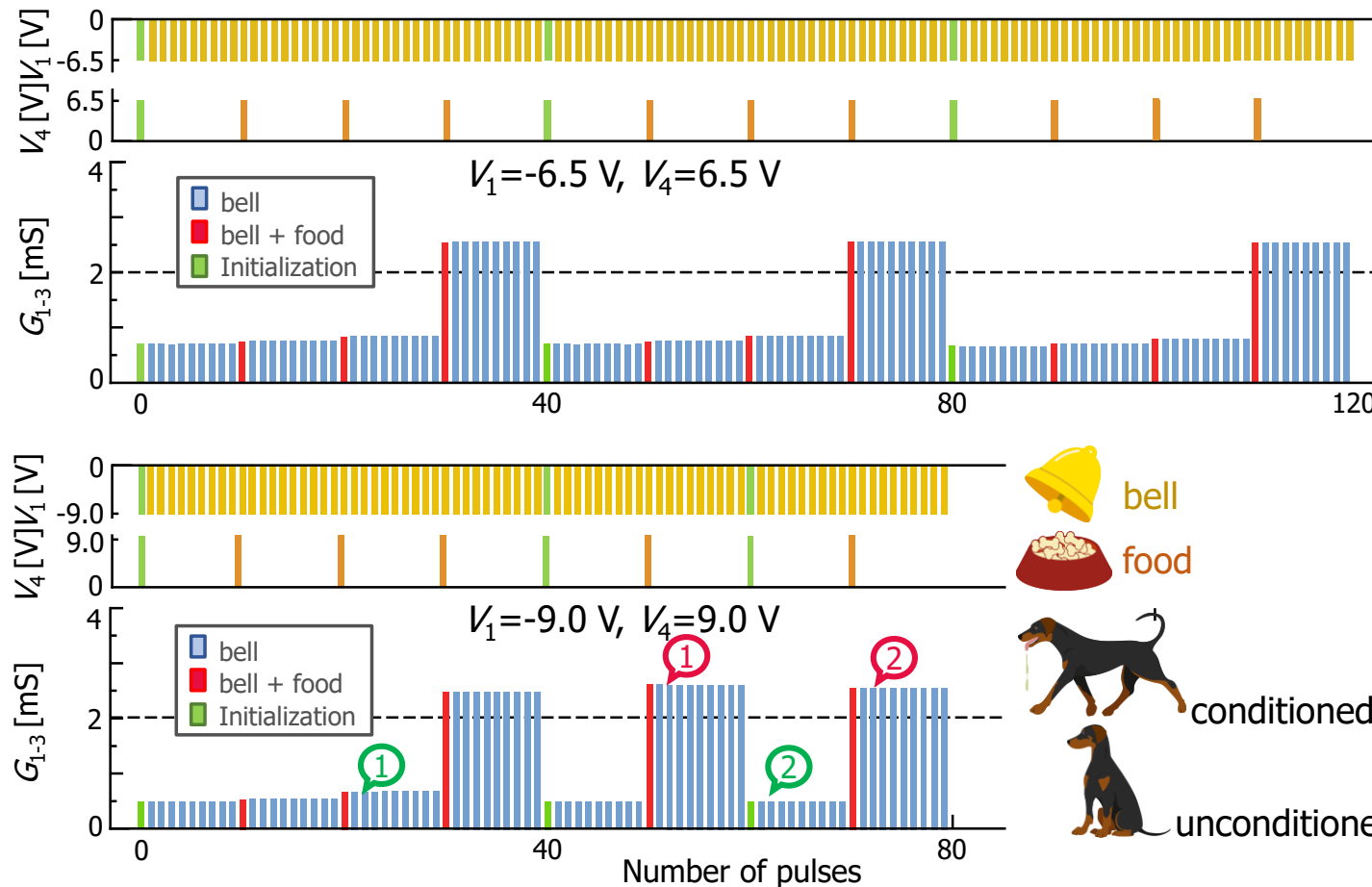
<https://historyofyesterday.com/pavlovs-dog-the-experiment-that-revolutionized-psychology-d4bfcd343c73>

Alteration in information flow through a pair of feeding command neurons underlies a form of Pavlovian conditioning in the *Drosophila* brain
A. Sakurai et al.
Current Biology 31, 4163 (2021).

パブロフ型条件付けの4端子メモリスタへの実装



パブロフ型条件付けの4端子メモリスタへの実装



Optical microscope images in the device active region

まとめ

- 半導体メモリデバイスは、IoT, AI, ロボティクス等の技術の中核に位置し、未来社会の構築に不可欠である
- データ処理数の増大とともにフォン・ノイマンボトルネックが問題となる
- 深層ニューラルネットワークは現在のAIの核である
- イン・メモリコンピューティングを実現するクロスバーアーキテクチャは積和演算に関する諸問題を解決する
- メモリストアはANNにおけるシナプス機能を発揮する
- ANNを発展的に再構築するうえで、神経系の高次機能（変調・連合・相関）を発現する人工シナプス素子が不可欠となる

謝辞 本研究はJSPS科研費（JP17K18881, JP20H00248, JP21K18723）の助成を得て行われた